

Литература

1. Түшев. "Мемлекетбюдемие"
M. 1977.
2. Конн. т 1, 2, 3 "Физикасъ мемлекетбюдемие"
3. Мортон К. Стэн „Основы физики мемлекет”
т. 1, 2
4. Арымбаев нsp. „Материаловедение”
5. Шульц „Материалогидикус”

Ковтун Геннадий Прокопьевич
050 590 46 27

2.09.2011
математика

лекция проф. Ковтун

Математическое моделирование — наука, изучающая структуру и свойства математических систем, изображающих связь между явлениями, состояниями, и ~~и~~ структурой явлений.

Структура — структура, структура

Модели : теоретическая 1)
математическая 2)

1) Т. М : \rightarrow математическая физика

\rightarrow моделирование

Математическая физика : 1) экспериментальная
2) теоретическая

2) Углубление Сб-1 № 1 (сверху нанесены линии
квадратов для рисования).

3) Сб-6 № 1 под вогнутостью. Вспомогательные
линии.

Математический анализ : одномерный, многомерный

2) Методы обработки № 1 определение
их сб-6.

Успорас

Золотой
Бронзовый (Медь + Свинец)
Медно-цинковый

Бес
Бес
Бес

1800 °
1295 °
0,5
100
мм. тонн / кг
мм. тонн / кг



- легкие (Be, Mg, Al, Ti)
- легко воспламеняющиеся (Hg, Ga, Sm, Pb, Zn и др.)
- выгораживающие (~~Ме~~, Mo, Ta, Nb, Re) при 1600°C
- благородные (Au, Ag, Pt и др.)
- алмазообразующие (Li, K, Na)
- яркие (U, Th, Ra)
- радиоактивные Ме (G, P₂, Nd)

благородные
Au, Ag, Pt

Признаки : блеск
Ме
теплоизлучение
запах металла

Электрическое сопротивление Ме

4. ре кб. числа : 21. кб. ?, Мет. кб. ?,
магн. момент

наг обозначки S, P, d, f
 $\begin{array}{c} 1 \\ 2 \end{array}$ $\begin{array}{c} 3 \\ 5 \end{array}$ $\begin{array}{c} 7 \\ 10 \end{array}$
 KOr.60 e⁻, 2 6 10 14.

простое d → d, f Менделеев
 переходное d → s, p ...

простой Cu 1s² 2s² ~~2p⁶~~ 3s² 3p⁶ 3d¹⁰ 4s¹
 Fe ... 3d⁶ 4s²

Кристаллическое строение - упорядоч. расположение атомов в прост. решетке.

Элементарная ячейка - min. число атомов, образующ-

щих кристалл в пространстве под влиянием собственного веса кристаллической.

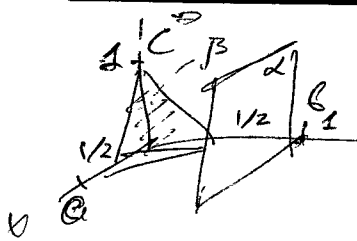
A, B, C] величина необход. для извр.
 D, F, Y]

7 систем 14 типов кристалл. решеток.

□ LSK, ГЦК, ГПУ.

Индекс Миллера ~ $\frac{1}{a}, \frac{1}{b}, \frac{1}{c}$.

индексов плоскостей в кристалл. направлениях
 отражения
 величины обратные пропорциональны
 a, b, c



$(0, 0, 1)$ на α
 $(1, 2, 2)$ на β

Координатное число $OLK = 8$

$PLK, PLU = 12$

число, близкое к соседям.

Коэффициент упаковки - сколько одинаковых кубов можно уложить в

$OLK = 0,68$
 $PLK, PLU = 0,742$

Порог температурный (4)

октадиурический (6)

Равнозаряд $Z_F = 0,22 R$

$Z_0 = 0,41 R$ R - атомный

размер

Дефекты виды в методах

- то же что и в резине но с
- эпилитический
- поверхносочный
- общий

Моделью: бесконечная (но конечная) (но конечная)

Причина: гидроксиль

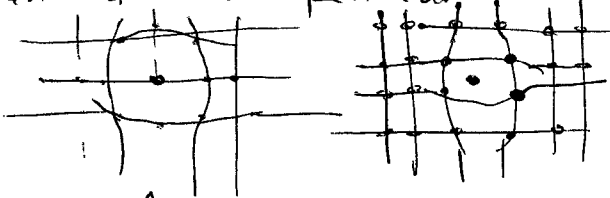
9.09.2023
Лекция

Лекция Ковчук Г.П.

Физико-химические — кристалл состоит из атомов
и молекул

Дефекты (продолжение)

Погрешные: в результате ошибки
свой атом или группу (Fe_3C)

Вакансии "по Френкелю" относятся к


Устойчивые дефекты — субвалентность —
свободные заряды
изменяют упругое взаимодействие

$$F = \frac{qI}{\text{свободн. эн-г}} - FS$$

вн. эн-рг
свободн.

$$n \sim l^{-\frac{E_v}{kT}}$$

, где E_v — Энергия
окисления
вакансии

где Cu (меди)

<u>300 K</u>	$\sim 10^{-13}$	%	помехи в вакансии
<u>1000 K</u>	$\sim 4 \cdot 10^{-3}$	%	
<u>1356 K</u>	$\sim 6 \cdot 10^{-2}$	%	(т.е. 1 вакансия на 10^4 ат-б Cu)

- 1) С повыш. темп. изменяется вакансия вязкость
- Вакансии определяют механическую характеристику $\tau_{\text{вакансий}}$

самодиффузия атомов.
спекание, термомодоразн.

Дислокации — результат нарушения
правильности чередования
плоскостей в кристалле.

Дислокации \rightarrow линейное

\downarrow
Винтовые

Линейные дислокации — в кристалле воз-
никают (исследованы) в I L
и синеве полуплоскости.

Различают 2 вида, родные дислокации.

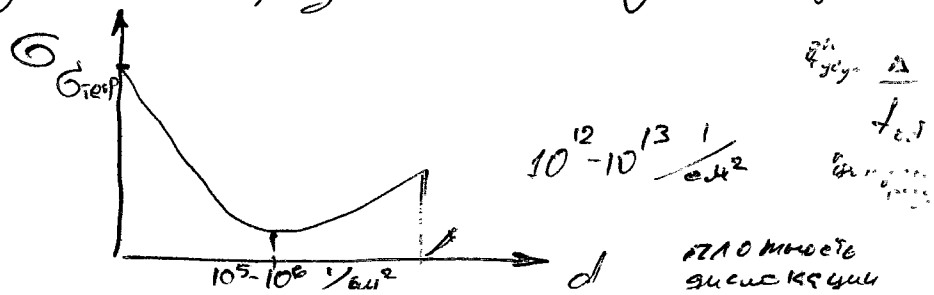
Винтовые дислокации — исследование распро-
странения атомов в
месте перехода с одной плоскости
в другую. \exists I.

Вектор Бюргерса. Гомеозоны, замыкающие
распр. концентрации правильного конформирования
бокалу? дислокации ??

Дислокации определяют МРХ СВ-бо мегаамп.

любая пластическая деформация приводит
к зарождению и размножению дислокаций.

прочность
кристалла



размножение
дислокаций

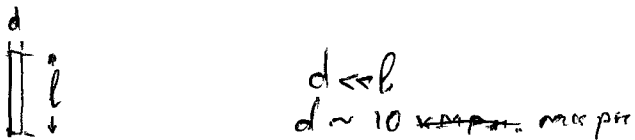
Геор. прочності кристалу — прочності меж атомних связей

$$\sigma_{\text{геор}} \sim (0.3 \div 0.15) E$$

$$\sigma \sim E\varepsilon$$

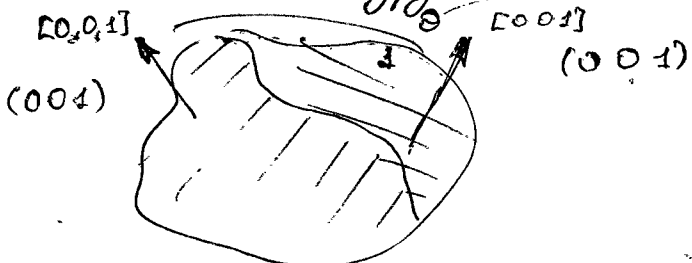
При деформации происходит склонение косин в отношении друг к другу.

В результате взаимодействия дислокаций такие зигзагообразные деформации.

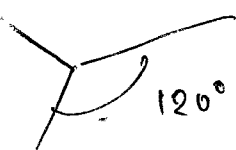


Поверхностное деформатія — механическое сжатие

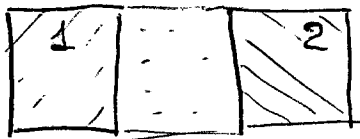
Пример: зернистая зерн. \rightarrow областей соприкосновения двух кристаллов, разорванных при растяжении + друг от друга



Фронт разорванных между зернами.



Максимальный угол резки
в кристаллах. тин поверх. энерг.



1) аморфное сост.
нет дальнего порядка,
состоит из отдельных.

$\Theta \sim 1^\circ \rightarrow \Theta \sim n10^\circ$ СПК 10-
аморфн.
сост. блоки

2) модель решётки супрамолекул

$$\Theta \rightarrow n \cdot 10^\circ$$

$$\Theta \sim 1^\circ$$

б - угол разпространения; б - вектор Гюнтерса

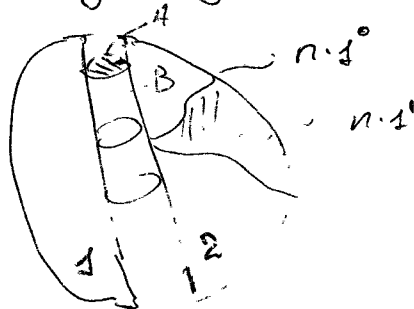
h - расстояние между дислокациями

$$2 \sin \frac{\Theta}{2} = \frac{b}{h};$$

$$\text{при } \Theta \sim 1^\circ \quad \Theta = \frac{b}{h}$$

блоки
к размеру
решётки

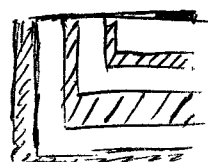
Взаимодействие дислокаций на поверхности шарфе



Структура Me:

Зерно \rightarrow блоки \rightarrow субблоки.

$$\sim 10^\circ \quad \sim 1^\circ \quad \sim n1'$$



16.09.2011
пятница

На поверхности зерна есть поверхность
нано-~~микро~~

микро. Поверхность диспергирована, 34 см.
наноразмеров разреженность зерна

$$d = 10^6 \text{ cm}^2 \quad f^{-A}$$

$$f = 10^{-8} \text{ cm}^{-2}$$

 T_{po}

1. Диффузия —

Пересечение Ag с Cu в электролитическом растворе.

Диффузия на границе зерен разделяется
на миграцию атомов в вакууме (вакуумные
переходы)

$$\underline{D = D_0 \exp\left(\frac{-E}{RT}\right)}$$

$$[D] = \text{cm}^2/\text{сек}$$

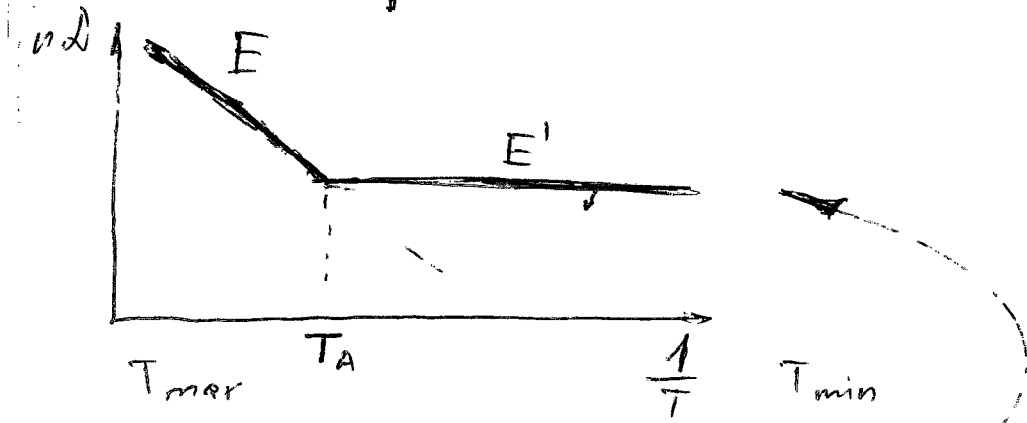
$$\text{Сравниваем } D_{sp}/D_{0c} \sim 10^5 \quad E_{sp} < E_{0c}$$

но границе
но обстоятельствах

E — энергия активации

-когда
диффузия

$$\ln D \sim \frac{1}{T}$$



Соинцифурзус Z_n

$$T_A \sim (0,6-0,7) T_{\min} (Z_n)$$

$$\frac{Fe}{E} \text{ (ge } 1200^{\circ}\text{C}) \quad \delta \sim 5 \cdot 10^{-8} \text{ cm}$$

$$\frac{E'}{E} \sim 0,4-0,8$$

$$\frac{E'}{D} \sim 10^3 - 10^5$$

Граница зерен - меx-e сб-6с Me: границы

зерен симметрически и не меx-e сб-6с.

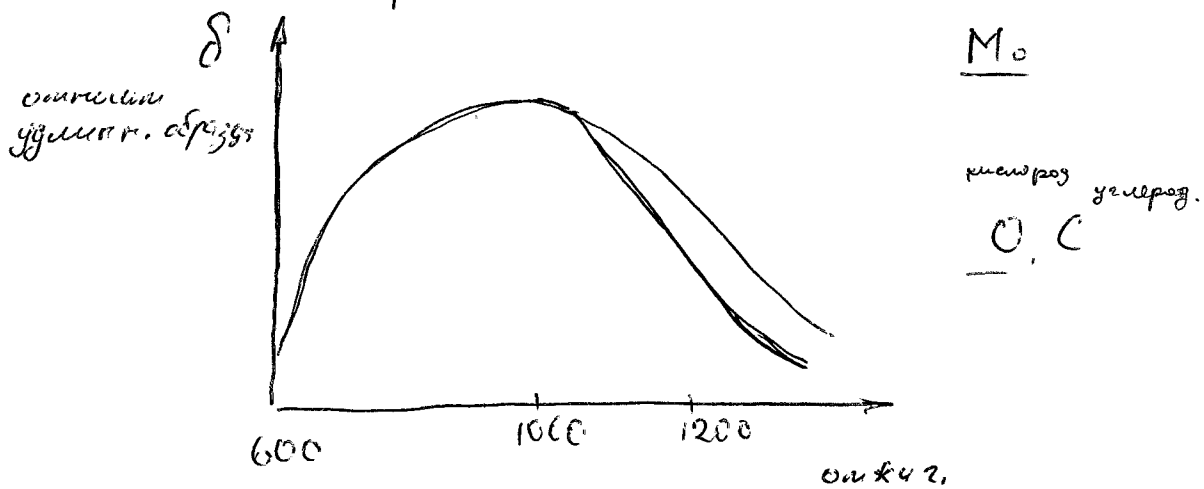
Разрушение Me:

- трение кристаллического зерна

- мест кристаллизации по границам зерен
 - a) наизнанку т-роя -- из-за макроскопической асимметрии

- сорбционные сл-ва
 (адсорбция)
 (сорбция)

Уровни "нагрузки" 10^{-16} Ульяновск зем.
 это в единице - угроза ее превышение
 или "гос-утилизация"
 "Бензин, бензопропи, кербитол" — не превыш.,
 не выше приносим.



Диаграммы состояния Метанол

Def: Диаграмма состояния Метанол гидроксилом на
 ациленах — диаграмма изобарик. профилей не
 монотонных синтеза в зависимости от
 концентрации изоцианов и концентрации.

Polymerice - структуре вільної
радикальної полімеризації зі звільненням мікронів

$$G = U - TS + PV$$

зменшуючимися H

$P = 1 \text{ atm}$
(const)

$$F = U - TS$$

Фаза - термодинамічне піднебесне
суспінення багатьох компонентів

які в ньому стікають один на інший
термодинамічні власт. будинку багатьох

- єдиний розподіл згомонізованих

суперечності та засновані на взаємодії
різних, кількох та більшіх складників.

Правило фаз Тьюсса (загальна)

записуємо у вигляді

- утворюється максимальна кількість фаз, коли всі складні
взаємодіють з всіма іншими

$$\rightarrow N = K - f + 2$$

Мемадд - мемадд
 M_e - гидрог
 M_e - гидрог.

Концентрация (C)

Число Стандартных водородов — число Водородов.

Внутренних факторов, кон. водородов
 из которых есть из изменчивых и неизменчивых.
 из 3х в альянсе. $(T, P) + \text{Констант}$
 $t_{\text{реф.}} = 0^\circ\text{C}$, $P = 1 \text{ атм.}$

при $P = 1 \text{ атм.}$

$$n = K - f + 1$$

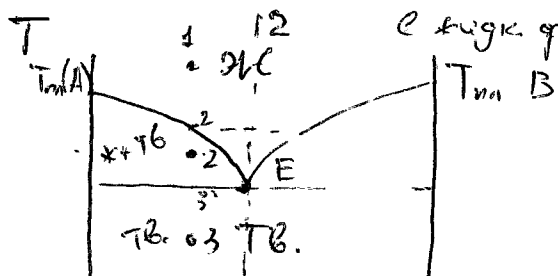
если $K = 0$ — наименее изменчивые
 наименее изменчивые

Вода (H_2O): $K = 1$
 $f = 2$ (число разноменований)

мемадд - мемадд $K = 2$ $f = 3$ Au-Ag

Диаграмма I пога A, B

A, B — 6 · 6 сп. перспективы

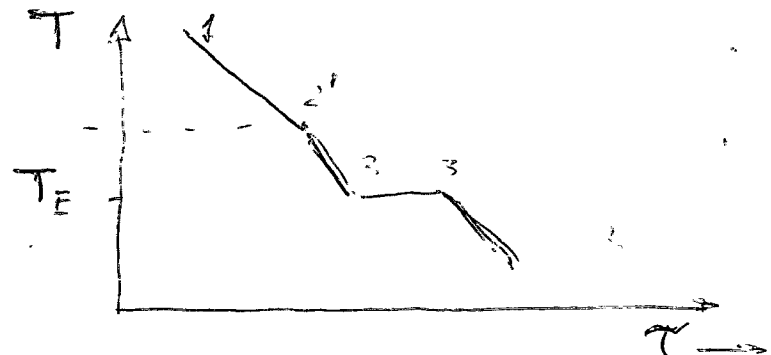


A (Константные) B

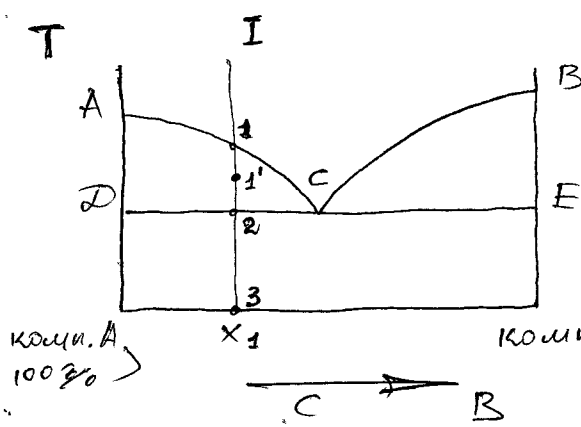
Способ 1

Способ 2 — способ
 Эвтектического
 предпринимания

Температура кристаллизации - это же T_c



T_E — точка обнегтической превращения
(температура, при которой не меняется, то
есть будущее не запрещено кристаллизации)



лекция Ковтун Г.П.

23.09.2011
пятина

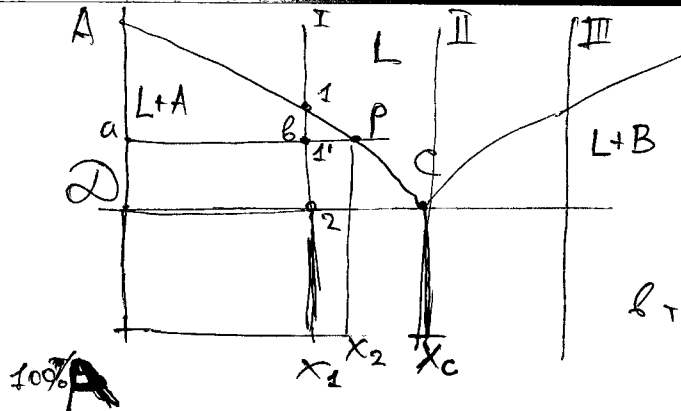
ACB - линия liquidus
DCE - — solidus

практически
безразделие
всегда компо-
ниентов в какойто
одной растворимой группе

0,001% AB

Граница плавкости растворимости AB

Концентрация (C) — относительное
количество 1 в компоненте 2



$L + 1'$ (компонент B) $C - X_B$

Компактное содержание опр.-а правильное расположение

$$\frac{Q_{\text{ре}}}{Q_m} = \frac{L_{11'}}{A} = \frac{0.6}{0.8 P}$$

между $\sim 2 \dots 3$ содержит твердую фазу $A + B$
т. с. :

Эвтектика — механическая смесь двух кристаллов, с концентрацией A, B в т. с.

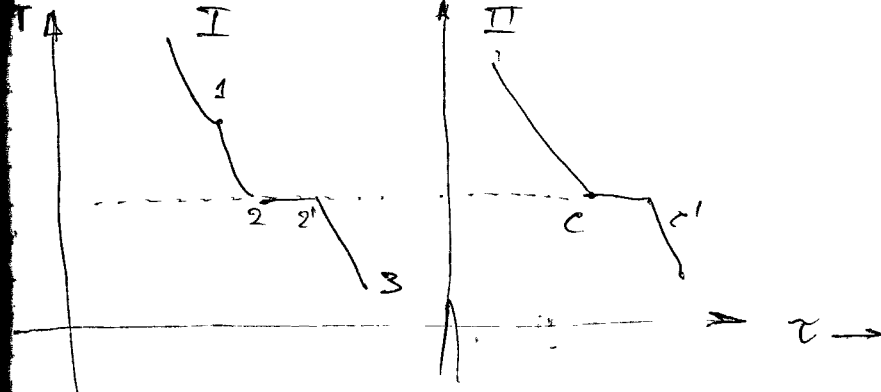
— продукт совместного роста двух коррозионно-диффузных дендритов.

— сплав, образованный совместной кристаллизацией двух компонентов

Из структуре эвтектики:

1) Генерика сост. из 2-х кристаллов

2) $T_{cp} = \text{const}$



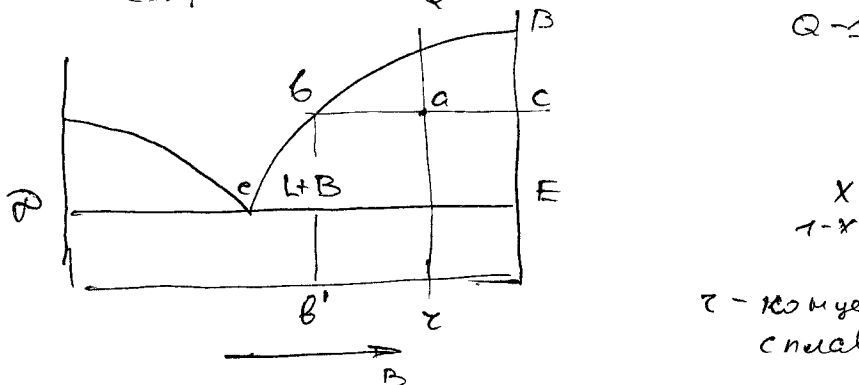
x_c - сплав эвтектический.

то \overline{DC} то эвтектический

к. АВЕД 1) образование союзов (A + B)

2) Структурное сопоставление: наличие компоненты A, наличие B, $(A+B)$ - эвтектика

Правило отрезков (пример)



x - мф. засыпки
 $1-x$ - магн. реагент

τ - концентрация сплава Q

содержание к.А в сплаве Q = $1-\tau$

$$\text{б.т.к.} \quad k_A : (1-x)(1-\tau) = (1-\tau) \Rightarrow x = \frac{\tau - \tau'}{1 - \tau'} = \frac{\alpha b}{bc}$$

где к.А б.т.к. сплава.

числк
разд $1 - x = \frac{ac}{bc}$

$$\frac{Q_{mb}}{Q_f} = \frac{ab}{ac}$$

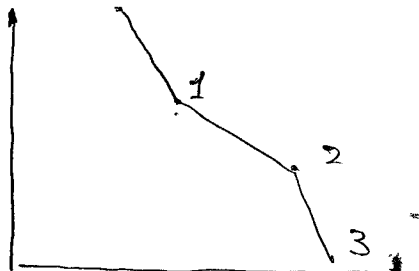
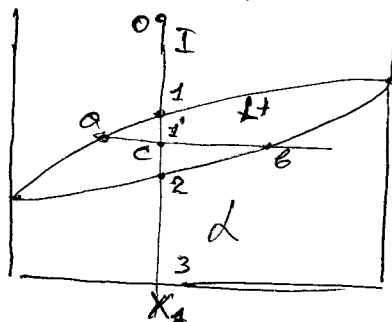
Ко-бо тб. и к. раз
обратно пропорциональны
отрезкам

Диаграмма состояний II рода

ДС II рода — компоненты A и B — по изотерме
распределяются между 2 группами

T

"сигара"



+ 1. Смесь на основе компон. A

+ 2' сосмес: L+d

$$\frac{Tb}{x} = \frac{ac}{cb}$$

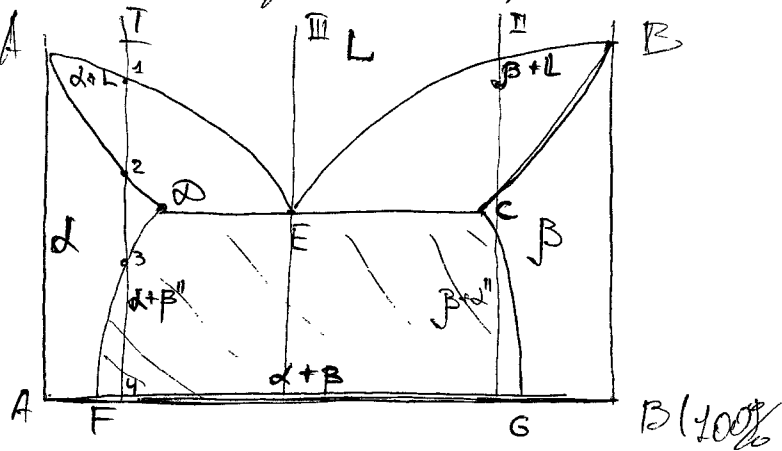
концентр. $\frac{L}{d} - x_2$
 $\frac{d}{d} - x_3$

2-3 + бедной раствор d'

Смесью, об разующие из бедного раствора, кристаллизующиеся в некотором интервале температур

Этот химический смесь кристаллизируются при одной температуре

Диаграмма состояния III рода —
— с ограниченной растворимостью $\text{C}_{\text{16}, \text{сост}}$.



IFR:
фаза сплава на основе комп. А.

З-4: Водоудаление из фазы α кристаллов фазы β
(вторичных фаз β'')

Вторичные кристаллы — водоудаление из тв. фазы

III
 $(\alpha + \beta)$ Необходимо разделять
фазовый и структурный состав

разводной состав: 2 ($\alpha + \beta$).

Структурный состав: а) $\alpha + \beta$ Эвтектика —
свой неструктурированный
пространством

б) α, β''

пространством

$L_E \rightarrow$ образует две новых фазы

$L_E \rightarrow \alpha_d + \beta_c$ ($L \rightarrow \alpha + \beta$)

Эвтектический преврс. — когда из тугоскопии опред.

кому члены групп образуются где новые грп.

т. Е

$n = 0$ (некорректное соединение)

$$n = K - f + 1$$

~~K фз.~~ $f = 3$

правильное
разбиение

! от макролитов
существоует недостаток + 276. разд.

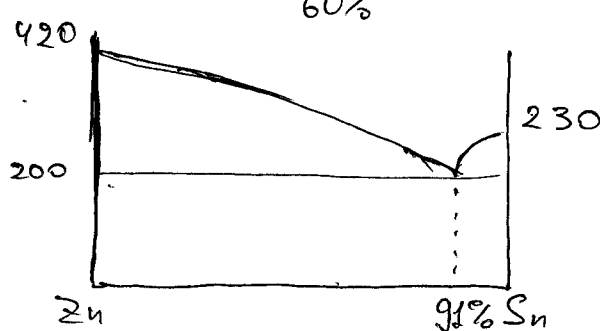
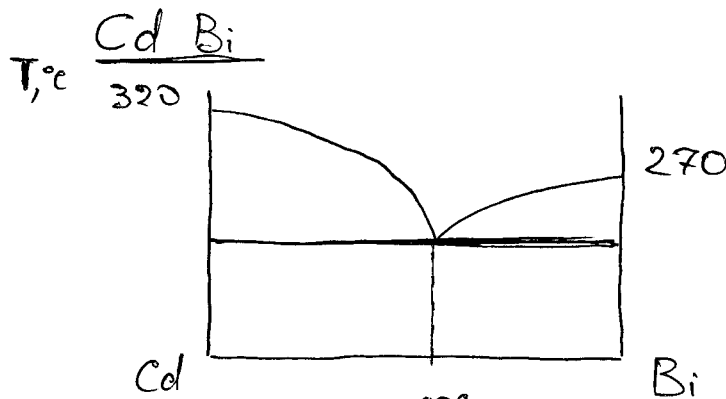
лекция Ковтун Г.Н.

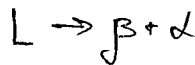
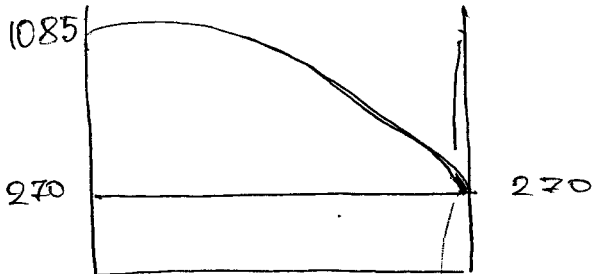
30.11.2011
момент

Эвтектическое ображение фаз.

Эвтектическое сочн.

если $T_{\text{ин}} \text{ A} \cup \text{B}$ одинаковы, то $E = \text{неч. DC}$

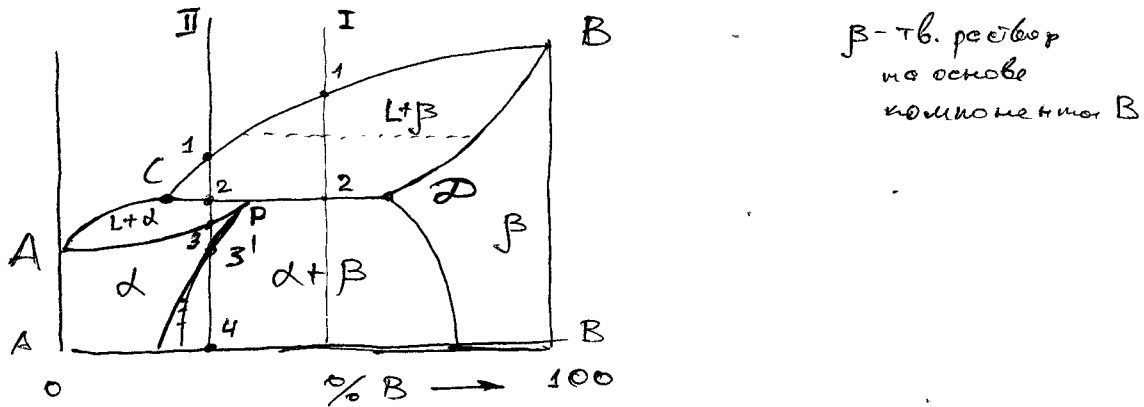




Bi
99.8%
 $T = E$

Многокомпонентное соединение
с перитектикой

CD - линия перитектических



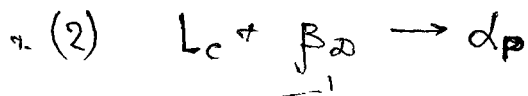
β -тв. раствор
на основе
комплексного В

Def: $L + \beta \rightarrow \alpha$ Образование перитектическим

Жидкость и тв. фаза в процессе взаимодействия формируют новую твердую fazу.

I Cu₆₈B₃₂

CDB | C_L по линии CB
 C_B по линии BD



CD- типиче перитектического превр.
изучен

$$\frac{V_B}{V_L} = \frac{\text{кон-бо } \beta_2}{\text{кон-бо } L_c} = \frac{2C}{2D} \approx \frac{2}{1}$$

(правило рычага)

II смесь

Помимо т-рд, получим : отрезок (2-3)

(2-3) : $d + L$

(3'-4') d

(3'-4) : $d + \beta''$ сморщенное кристаллы β -фазы из кристаллов

б T-2 проходит перитектическая реакция

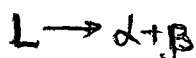
β_2

d_p

L_c

~~β~~ В Отделение эвтектического и перитектического превр.

Эв текн.



мелкодисперс. смесь мелких
образований

одновременно с образованием (инициат.) альфа, фаза d, β

1. Огнобр. \rightarrow хар-н. Эвтектическ. структура

2. Эвтектическ. реакции \rightarrow всегда образуются тонкие фазовые структуры

тур.

Неритектическ



1. Нем одновременного прорастания
 $\beta \rightleftharpoons \alpha$

Нем специфической структуры (тургос ^{тургос} волнист.)

2. Не всегда образовывается двухфазной структуры, возможна одноразовая структура.

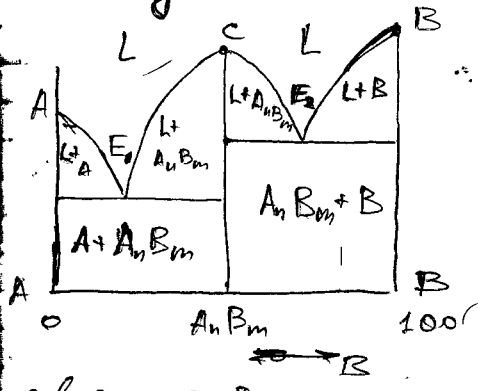
Сходство: 1) и так и так в равновесии находят
 2) конверсионное превращение.

Диаграммы состояния с химическими соединениями

Def: Хим. соединение — устойч. соэ. вещества с опред. составом, из-за которого оно образуются.

Прп. H_2O $n=2$ $m=1$.

DC с устойчив XC



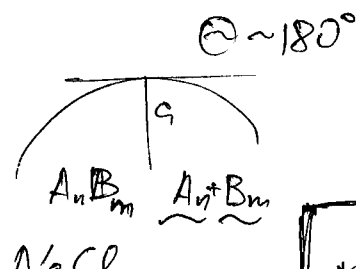
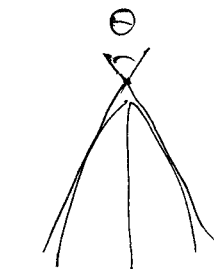
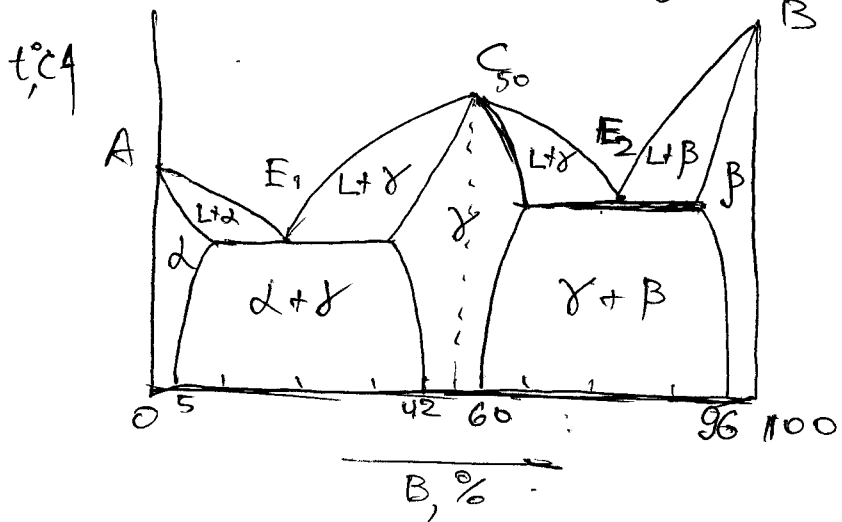
свойства DC I типа

DC с неустойч. XC

$$\begin{aligned} T_{m, A+B_m} &> \\ &> T_{m, A}, T_{m, B} \end{aligned}$$

Или. соединение или его компонентов через субстанции друг в друге.

DC. с тб. раствором на базе хим. соединения



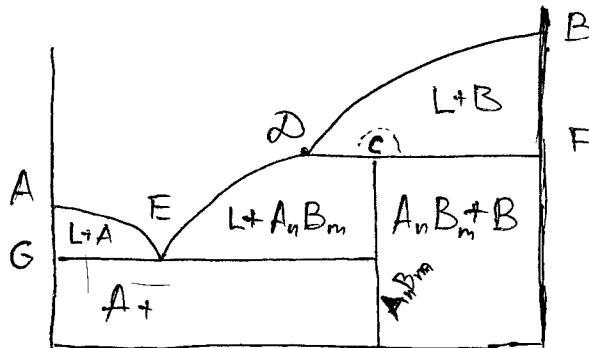
Молекулы пр. соед.
худж. недужен он и не
он молекулы пр. соед.
и б. физогр.

слезы.

гормоны
коберн.
менен.

За счет гр. количественных слез возможна
одновременное растворение и
могут растворяться и
растворимы.

ΔC с неустойчивым хим. соед.



ΔF - линия
перитектического
превращения.

B + C - скротый
изоморфизм

Если хим. соед. A_nB_m : $\frac{b_i \cdot C}{nA} \ll B$ оно распадается

хар-р распада: признак присутствия
неустойчивого хим. соед.

ΔC с полиморфным
превращением.
(динамико-составн. дис. сплавов иначе
полиморфн. превращ.)

лекция Ковтун Г.Р.

07.10.2011
пятница

олиморфизм — состояние вещества в двух или
более кристаллических решётках

Fe (железо)

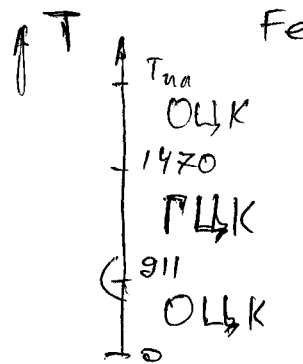
ОЦК структура. $\xrightarrow{\text{?}} 911$

$911 - 1470$ (?)

ГЦК

ДЛК

$1470 - 1539$



Примерно 1/3 МЕТАЛЛОВ имеют полиморфные переходы.

на межструктурном уровне

Аллотропия

аллотропия (различия в строении атомов)

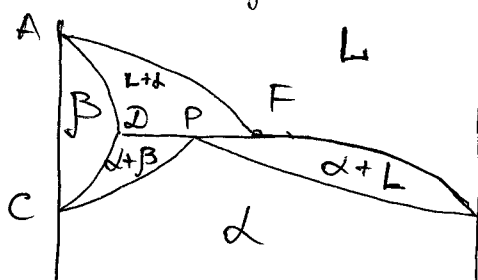
из уравнения Кошика.

аллотропии

O_2 O_3 (Ozone)
испарение

1) Аллотропия основного состояния у комп. В - одна модификация.

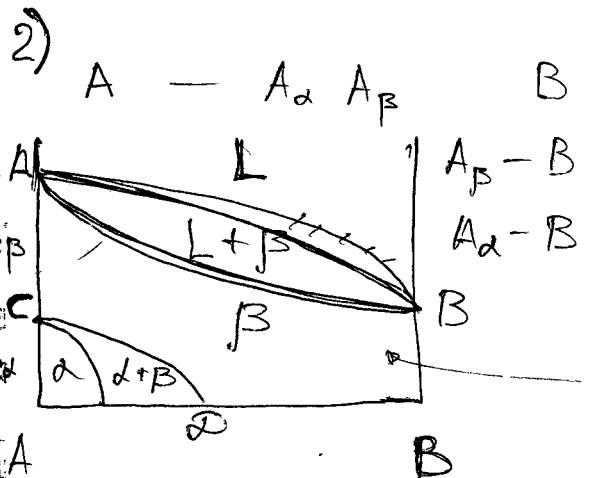
У кошика \rightarrow A_α B
 A_β



A B

$A_\beta - B$ - ограниченный растворимость

$A_\alpha - B$ - полный растворимость



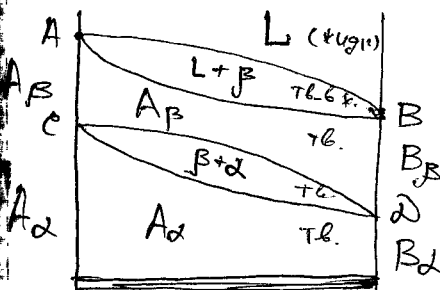
— полная растворимость

— ограниченная растворимость

твердой фазы, A_{β} не осн. B

3) Помиморфозы обоих компонентов:

$Ad, A_{\beta}; B_{\alpha}, B_{\beta}$

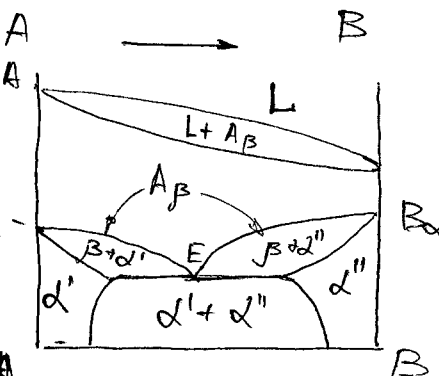


Две периметрические изоморфозы
т.е. они сходны

а) Полная растворимость

A_{β}, B_{β} групп в другое

Ad, B_{α} групп в другое



б) A_{β}, B_{β} — полная растворимость

Ad, B_{α} — ограниченная растворимость

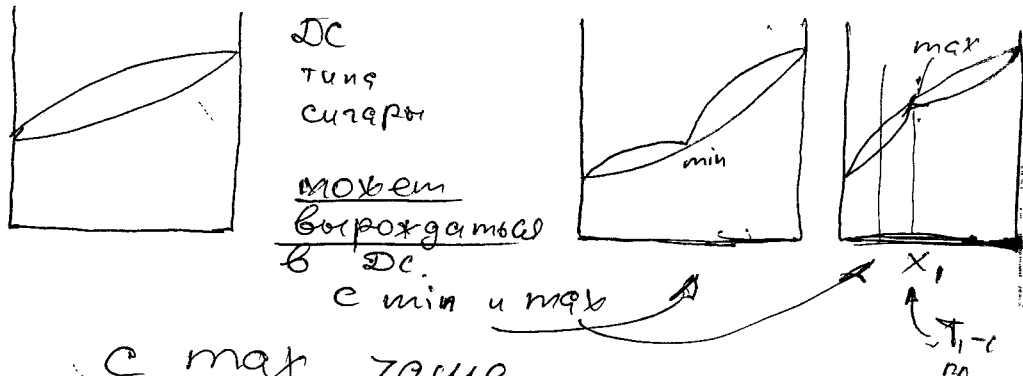
роль углекисли в РТ и газов.
среды A_{β} .

(L)-E әбтөктика

(S)-E әбтөкмөнд

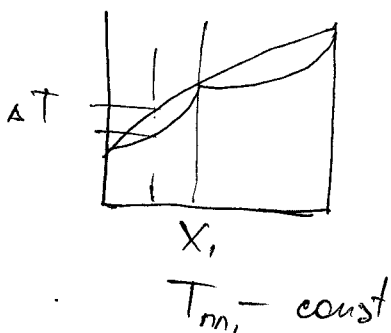
Намыс мономорфных тұрақталықтардың
негізгі үшін DC.

Төбөре о физикалық түрлөр, сиңары
нүхтесе мономорф, шоғыр



Ni-Wo -

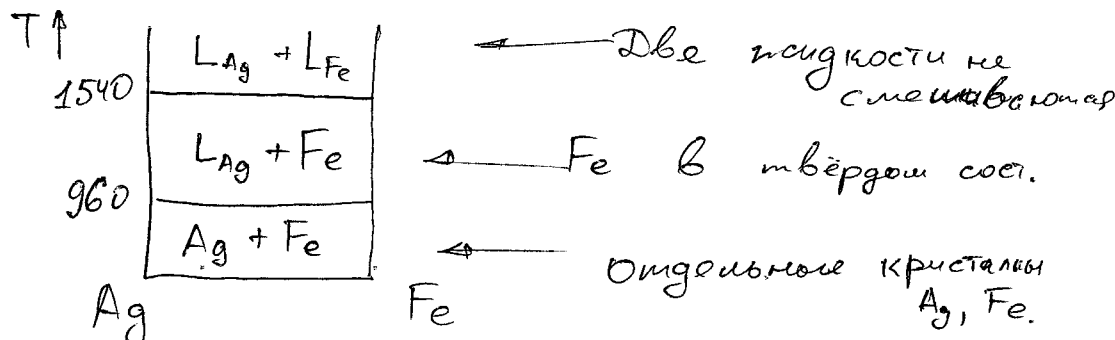
сплав при плавитаса с нос. т-рол.



Үдобно технологически,
намеке же шоғыр оғ

$\mathcal{D}C$ с полной несolvимостью
в жидкой состояния

Ag Fe (серебро-железо)



Некоторые примеры: Ag - W; Mo, Co

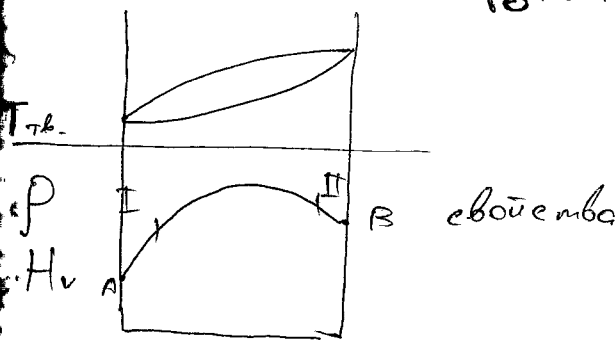
Al - Na; Bi - Fe

Cu - Mo; Cu - W.

Связь между $\mathcal{D}C$ и свойствами сплава
(законы Курнакова)

ЭЛЕКТРОПРОВОДНОСТЬ

нагревание (полн.)
расширимость

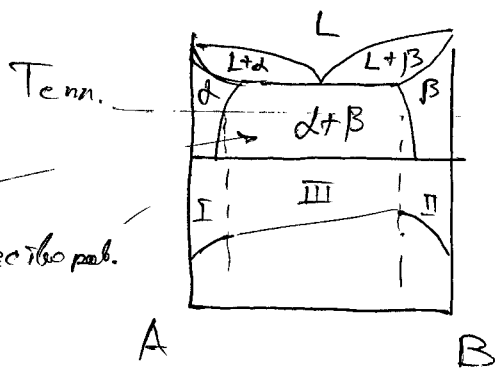
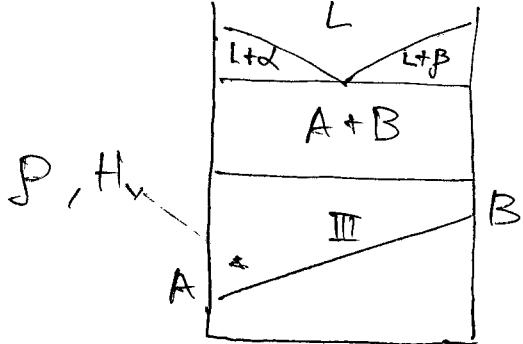


Любое добавка др. элемента —
изменение расширимости!

Hv, σ_B
 $(\delta \rightarrow)$

min — в системе буде
при нагревании Hv . $\sigma_B \rightarrow$ расширим.
твёрдость (условная предел)

Теперь без расчета



(теперь) с температурой
расстворы становятся

Дюораль - автоматический сплав: упрочнение со временем

правило Гиббса

Тема: Ризигекска и природа разбавленных сплавов.

Существует два типа разбавленных сплавов:

промышлена

III тип. растворы — тв. состояния в конц.

6 различных соотношений, но именем Огюстеном

речется.

Виды тв. растворов: (по концентрации)

- 1) ненасыщенный
- 2) ограниченное

Типы тв. растворов:

- раствор замещения 16 узл. кристал.
рени. один атом
замещён другим)
- раствор в неопределённых (размешение
атомов не в
группах)
- раствор вычитания Узл. а между ~~одинаков~~
образуется би-
дозе хим. содружества (XC))

FeO (окись железа) говорят:

Речь - о водном растворе
6 элем. содержании FeO

концентрированная O не растворим

Fe - не
45% 50%
атомов атомов
аналог.

IOP

journals publishing

Михайлов

: 1 2 3
4 5 6

YOPH
1 2 3
4 5 6
7 8 9

the first international conference

BC

24.11.2011
некоторые

Fe C

Сталь — сплав железа с углеродом,
при этом количество углерода
не превышает 2%
изучаем \Rightarrow больше 2% C.

Ст 3
Х18Н10Т

~~Марки~~ Марки стали.

C + 3 = Сталь 301

Равновесная диагр. состояния Fe C

Лекция Ковтун Г.И.

Физ-кая природа фаз в сплавах.

28.11.2011
помощь

Основные факторы образования тв. растворов.

1. Однотипность кристалл. решёток

A - раствор. CuK -реш. B - растворени. бесц-во CuK -решётка и также раствор CuK .

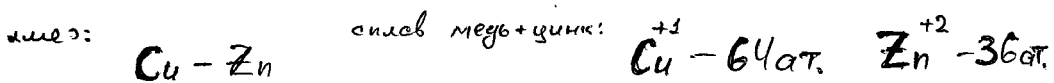
2. Соотношение атомов родичей

$$\left| \frac{\gamma_A - \gamma_B}{\gamma_A} \right| = |\Delta \gamma| < 15\% \quad (10-12\%)$$

Размерный фактор (Нан-Розери)

3. Электронная концентрация тв. растворов

$$C_{\text{Эл.}} = \frac{l}{m} \quad \begin{array}{l} \text{(число валент. эл-нов} \\ \text{к числу атомов сплава)} \end{array}$$



общее кол-во атомов: $\sum m_i = 100$ $64 \times 1 = 64 ; 36 \times 2 = 72$

$$\sum l = 136$$

$C_{\text{Эл.}} = \frac{136}{100} = 1,36$ (электр. концентр. спл. Cu-Zn)

$$C_{\text{Эл.}} = \frac{V(100-x) + 2x}{100} \quad \begin{array}{l} \text{V-валент. кон. A} \\ \text{2-} \text{B} \\ x\% - концентрац. \text{B} \end{array}$$

1 из кандидатов крист. решётки
сущ-е и кристаллическая электронная концентрация
богатое кон. данное решётка сплавов
и упрощено.

для $\text{CuK} = 1,48$

$\text{ГЦК} = 1,36$

Сходство двухкристалльного строения
(близость в табл. Менделеева)
△ $V \rightarrow 0$.

V	C ₂
Nb	Mo
Tg	W

> 15%

неогранич., гиб.
расши.

огранич., гиб.
расши.

$$0,85 \leq \tau_A / \tau_B \leq 1$$

Тв. раствор замещения

Вопр: Как изменяется параметр решетки при образов.
тв. раствора замещения?

Онв: параметр будет меняться, т.к. разные со структурами

Hf подобен Zr Ta подобен Nb

$$\text{if } \tau_A > \tau_B \rightarrow$$

Тв. раствор внедрения $\frac{\tau_B}{\tau_A} < 0,59$

Me (C, N, H, O, B)

Онв: параметр решетки изменяется (увеличивается)

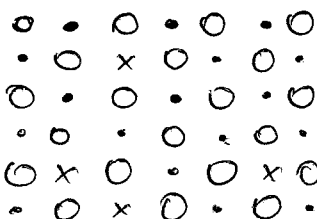
Тв. раствор вытеснения — раствор,
кот. образуется за счёт избы. бак. узлов в
кристалле

FeO

○ — кислород

● — Fe

·x — вакантный узел.



большие
атомы O

AlN, MgC, VC, ZnC

Раствор вытеснения
замещение-элемент.

$Nb\ C$
50% 50%

$Zr\ C$
55% 45%

не может
быть $45:55$
~~Mg~~ C

Tb. раствор

- упорядоченные
- неупорядоченные

- атомы
распакованных

Бенз-бс (B) расположены в растворимых (A) хаот. обрзах.

- атомы

распаков. бенз-бс (B) расположены упорядоченным обрзом.

неупорядоченный

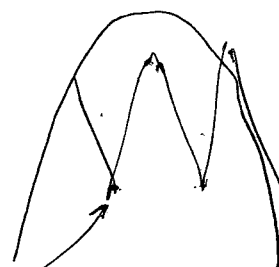
Cu - Au
 $\frac{2}{3} \frac{1}{3}$

Отличие упорядоченного и неупорядоченного Tb. раствора —
если есть сврзь между АС и св. вами.
одна — сврзь между с миксингом (раст. между
горн.)

(Раст. при упорядоч.
если сврзь структуры)

электроупорядочение (удаление)
микрошероховатос.
нагревание (нагрев т-ров.)

нагрев — одновременное сопротивление.



макс упорядочение
(снижение резист.)

гальванич.

термоэл.

$$S = \frac{z - w}{z + w}$$

$z =$ Вероятность
находк. зерг.

w - Вероятность исхода. ам. б подрим. др. зи.

$$S \rightarrow 1 \quad z \rightarrow \cancel{1} \quad w \rightarrow 0$$

$$S \rightarrow 0 \quad z = w$$

$$0,85 \leq z_A/z_B \leq 1$$

$$z_B/z_A < 0,59$$

$0,85 \div 0,59$ — обрезование
промежутоков
разг.

Раздел

Промежутковые фазы —

фазы стабильные от твёрдых расплавов.

Свойства Пр. Ф.

1) Резкое отличие по атомному строению и сб-с атомам исходных компонентов, ком. образующим Промеж. Фазы

2) Отличие кристаллической решётки от исх. AuB. (имеет свою крист. реш.)

3) На фаз. Сост. Пром. Фазы отделены от тв. расп. гетерогенными или одноступенчатыми

гетерогенные области — области перехода через ячейки сб-с системах меняются скакком

4) Промеж. Фазы существуют ~~только~~ и в интервале концентраций либо при некоторой комбинации

Какие Промеж. Фазы существуют?

Виды (Типы) Промеж. Фаз:

1 Электронные соединения (фазы Н-Розера)

Cu, Ag, Au, Fe, Co — с одной спир.

Be, Zn, Cd, Al, Sn, Z — с др. спир.

и характер опред. электронной концентрацией.

$$C_{\text{эл}} = \frac{e}{m} \quad \frac{3}{2}, \frac{21}{13}, \frac{7}{4}$$

- I $\frac{3}{2}$, β -фаза, Д.Ц.К. решётка

Пример: Cu_3Sn , Cu_3Al , Cu_5Si

- II $\frac{21}{13}$, γ -фаза, сложн. КУБИЧ. решётка
диапазон темп. от -52°C.

Пример: Cu_5Zn_8 , Cu_3Sn_8 , Cu_3Al_2

- III $\frac{7}{4}$, ϵ -фаза Гексагональ. решётка

Более динам. — неи полного упорядочения
— фазы существуют в
интервале концентрации ΔC .
— на диаграмм. состояния присутствуют все три фазы (β , γ , ϵ -фазы)

14.11.2011

некоторые диаг. ст. Cu - Zn

Г-фаза

Cr - Mn

V - Mn

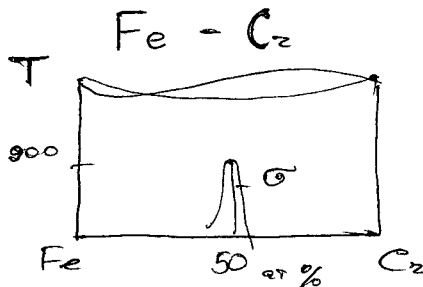
Fe - Cr

Mo - Fe

решётка съединяется - температура 294.5°C называется 30At

Г-устойк. неуст. ($\text{Fe}-\text{Cr}$)

Г-хрупкое состояние т.е. при низких Г-фазах
даже хрупкость сплава.



появление Г-фазы ограничивает легк.

неравновесная сталь содержит хром (Cr) $\sim 20\%$

Фазы внедрения

{ раствор внедрения $\frac{\%}{\text{в}} < 0,5\%$
(O, N, C, H, B)

{ ограниченное — до опред. концентрации

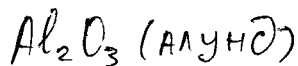
Если десоюз не существует то концентрации конечны.

Образуются фазы внедрения.

Mo, W, Zr, Ta, Nb, Fe — C, H, O, N, B, P
ОЦК, ГЦК, ГПУ

оксиды, карбиды, гемириды, бориды

$$T_{nn} > T_{n\alpha}$$



Соединность паковых фаз — область гомогенности.

Nb_2C	NbC	TiC	— Фазы
3-33	44-50	33-50	— концентрац. упрежд.
расстояние			%
Взаимодействие			Не бывает неодинакового
			изменения.
		<u>TiC</u>	фаза внедрение карбида Ti

Фазы Лавеса

— соед. мине AB_2

$$\gamma_A / \gamma_B = 1 : 1,2$$

$$\Delta \gamma \approx 20\%$$

угородки ~ 270 соединений

— омнибус мини сводки

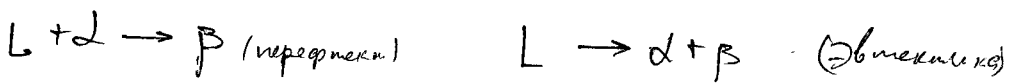
Сложная кубич решетка

- C-15 ($MgCu_2$) — кубич. реш.

C-14, C-31 ($MgZn_2$, $\# MgNi_2$) — легководородные

Образ. оп. II. могут превратить в перлита Me.

Формирование оп. Лавеса насыщается легким газом. — плавление



Конгруэнтное — когда тв. вещества (состава) совпадают с составом жидкости.

Конгруэнтн. соединение



оп. Лавеса — материалы для сверхпроводников
Бескрайне пластичны



Роды β -W

структурные мин. A_3B (A -II)

75 сек

бенз-60

атом A — IV — VI
атом B — Ga Si Ge, Au, Cu Ouk —

постоянной состава,

наиболее основное сверхпроводящее бенз-60. $Nb_3Sn - 18$

10^5 A/cm^2

NbTi

Nb₃Sn

ITER.

термо яз. ресистор.

Берх проводник Nb₃Ge $T_{\text{c}} = 23.2 \text{ K}$ - хрупкий

промеж фазы по постоянного состава
($\text{C} \times \text{C}$)

изменение

Нем. области валентности

50% и 50% 149,5% 45,5% 49,9%, 50,1%

ΔH - высокие температуры образования (вещество очень устойчиво).

ΔT → большие различия по разницам.

(разница в валентности) разброс по табл. Менделеева
Хим. соедин. могут образов. $\xrightarrow{\text{Me-Me}}$ Me-Me
Me-Me образует межатомные связи $\xrightarrow{\text{Me-алмаз. связь}}$ Ni₃Al, NiAl

Me-ионы образуют ионный связь
ион. - а-

φ

Тб. расстояние → ПФ первичн. сост. → XC пост.
сост.

ион. \rightarrow Me-Al-K \rightarrow ион., ковалент.

ион связи терм. связь полупроводники соедин. и к

$A^3 B^5$: GaAs, GaSb, InAs

$A^2 B^6$: CdTe

GaAs (арсенид галлия) хороший полупроводник

более широкая запрещенная зона
радиац. стойкость
солнечные преобраз. 30%

в 2 раза дороже Si

резко отличается от базиса по
составу.

T_{mel}: Ga - 29°C As ~ 650°C

GaAs - 1239°C

End of Промтк. фазы

Задача сочинения

Решение:

Кристаллизация металлов

Кристаллизация — переход из *чук. в кристалл
состоит из

Кристаллизация — процесс превращения из
*чук., газовой, аморфной в
в кристаллическую

Параметры: P (давление)
T (температура)

Аморфные вещества

Дальний порядок: Трансляция возможна ∞
Движение — : малочисленные перестановки

Нем кристаллы строились
не согласовано дальний порядок
отсутствие Т.кристаллизации

Первичная кристаллизация — переход из жидк. в крист.

Вторичная — переход из одной фазы.

переходит в дисперсную

Zn 892

ГПУ \leftarrow ГЛСК

Вторич.
крист

полиморфный
переход

лекция Ковтун ГП.

11.11.2011

памятка

любой процесс может промежуточеский если
свободная энергия уменьшается

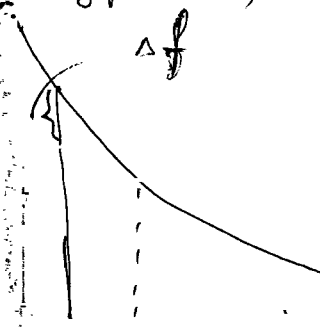
Движущая сила процесса кристаллизации.

$$\Delta F = H - TS$$

(энтропийное
изохорическое)

свободная энергия

$S \times \text{бесп.}$
 $S_{\text{тв. состоя}}$



$$F_{\text{тв.}} \\ F_p$$

T

$$(T_{\text{кр}} - T_p) = \Delta T$$

$$\Delta F = 0$$

— температура кристаллизации $F_p = F_{\text{тв.}}$
свобод. эн-ргии равны

Чтобы кристаллизовать M_e переходом из дисперсии T_p текущее значение

ΔT

$$1) \Delta T \rightarrow V_{ep} \rightarrow \text{меньшая скорость перехода из дисперсии, т.е.}$$

$$2) \sum C_i \rightarrow \Delta T \leftarrow$$

Чем выше концентрация, тем большая вероятность перехода из дисперсии в кристалл.

	Sn, Pb, Cu, Ni, Fe	$\sum C_i - \min$
max ΔT	118 80 250 319 295	

Fe, $T_{cr.}$
(1139)

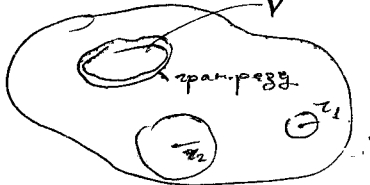
$$\sum C_i = \max / \text{мех. разр.}$$

$$\Delta T = 10 \div 30^\circ\text{C}$$

В процессе кристаллизации есть τ_1 и τ_2 фазы.

$$\Delta F_{ob} = -\Delta f V$$

\uparrow общий T_b фазы



Δf - изм. св. энергии при сг. обёма T_b -фазы.

Граница раздела характеризуется поверх. напр.:
+ S (площадью)

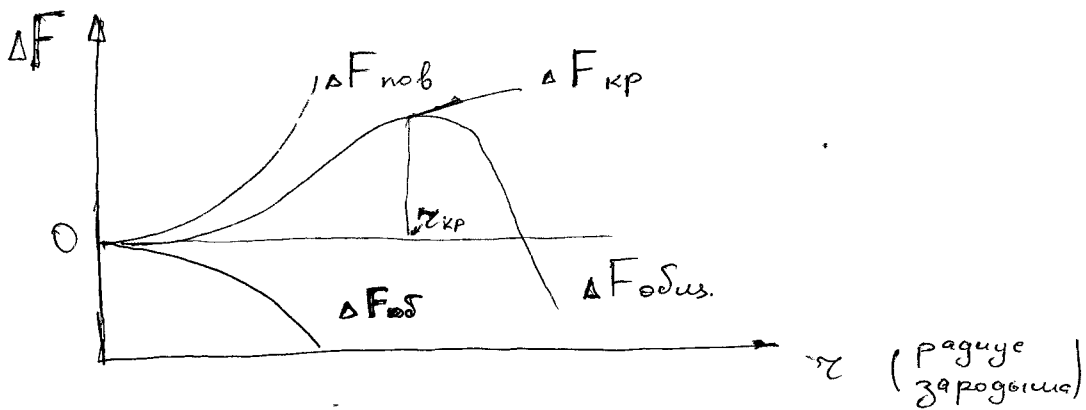
$$\Delta F_{общ} = \Delta F_{об} + \Delta F_{пов} = -\underline{\Delta f V + S \sigma}$$

общая

объемн.
поверх

коэф
поверх-напрк не превышает T_b и τ_2 опред.

График изменения свобод. энергии



max $\Delta F_{\text{об.}} : T_{\text{критич.}}, \Delta F_{\text{кр}}$

Задача: определить $T_{\text{кр}} - ?$, $\Delta F_{\text{кр}} - ?$

$$\Delta F_{\text{об.}} = -\Delta f \frac{4}{3} \pi T^3 + G 4 \pi T^2$$

~~FBD~~

$$\frac{\partial \Delta F_{\text{об.}}}{\partial T} = 0$$

$$T_{\text{кр}} = \frac{2G}{\Delta f}$$

$$\Delta F_{\text{кр}} = \frac{1}{3} GS$$

результат
абд-я
функция
системы

$$\Delta F_{\text{кр}} \leq 0$$

Почему?

т.к. в тб. в б. гр.

если функция энтропии.



— нет равномерного распределения энергии.

как видим $\Delta T \sim (\sigma_{kp})$ $\Delta f = \Delta T \Delta S$

$$Q = T_{kp} \Delta S$$



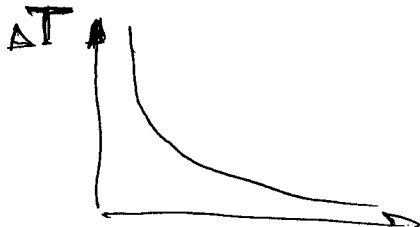
Процесс кристаллизации сопровождается
внедрением мениса (теплом кристаллизации)
 $Q = T_{kp} \Delta S$

$$\left. \begin{array}{l} F_* = H_* - TS_* \\ F_{76} = H_{76} - TS_{76} \end{array} \right\} \quad T = T_{kp} \quad F_* = F_{76}$$

$$\underline{Q = H_* - H_{76}}$$

$$\gamma_{kp} = \frac{2G}{\Delta T \Delta S}$$

$$\Delta S = \frac{Q}{T_{krist.}}$$



Чем больше переходный
тепловой путь будет
криSTALLИЗАЦИИ РОДУС

Параметры, определяющие скорость кристаллизации
1) величина величина
2) Скорость зарождения центров кристаллизации

$$\gamma \propto -N \left(\frac{1}{\text{см}^3 \cdot \text{сек}} \right)$$

2) Мгновенная скорость роста четырех кристаллов.

$$c.p. = V \left(\frac{\text{см}}{\text{сек}} \right)$$

Понимание наименование между N , V , V_t

$$V_t \approx f(N, V)$$

1. исп. боя
закрист.
боя - боя

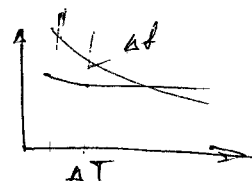
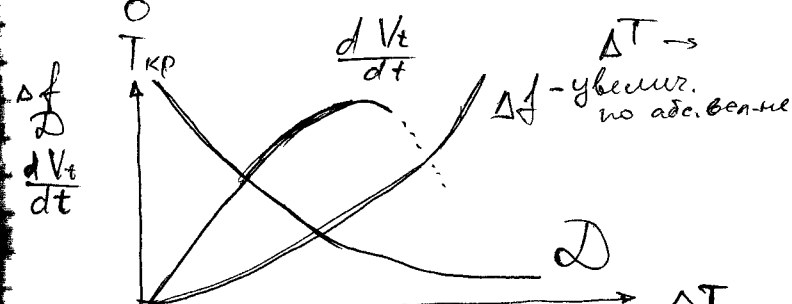
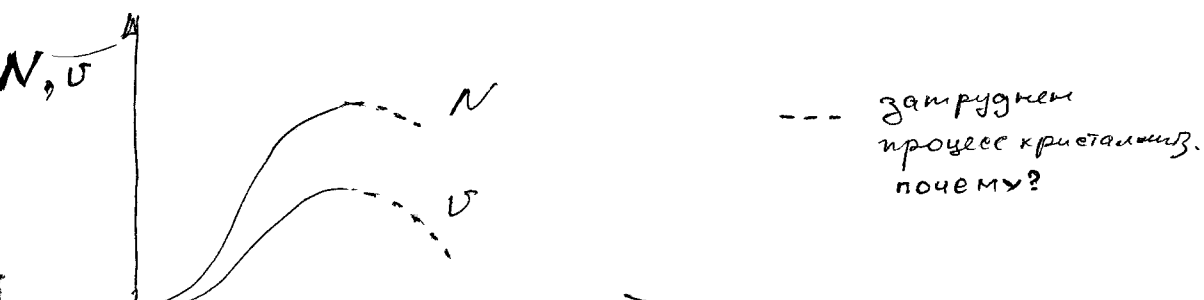
$$V_t = V_0 \left(1 - e^{-\frac{1}{3} \pi V^3 N t^4} \right)$$

V_0 - нач. объем ткн.

t - время кристаллизации.

$$V_t \rightarrow ; \quad \frac{dV_t}{dt} \rightarrow \quad V \rightarrow N$$

Вопр: $V, N = f(\Delta T)$ Сформулируйте зависимость



Δ - когр. самодир.
закр. аморф.

D - коэффициент самодифузии атомов
 dV_t/dt - скорость роста

лекция Ковтун Г.Н.

25.11.2013

ноты

Физ. состояния расстояние - по горизонтали

Кристаллизация

Гомогенное кр.

Гетеро гетерогенное кр.

ПАВ Поверхность Активное Венесика -

бенз-бс приблиз. к резкоум помн. поверхности
этерни ~~поверхности~~

дебол Испытуем Риз-Хим Механики

Зародыш 76. разог формируется в виде
дендритов → ^{очи} I фаза
II фаза, III фаза

Расположение дендритов определяется
составом

Принцип зёрн - принцип дендритов

В дендрит, расположенные зёрна бензобс
- нет дендритов.

+38(0) 67) 91 34 313

ks. Józef

ks. Robert 067 7893700

050 7196 857 Том Захаренко

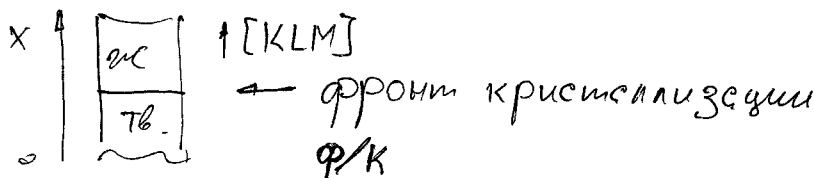
12.12.2011

метинус

лекция Ковчук Г.П.

до этого обсуждалась кристаллизация

Направленная кристаллизация — кристаллизация с определённой кристаллографии. направлена и направлено.

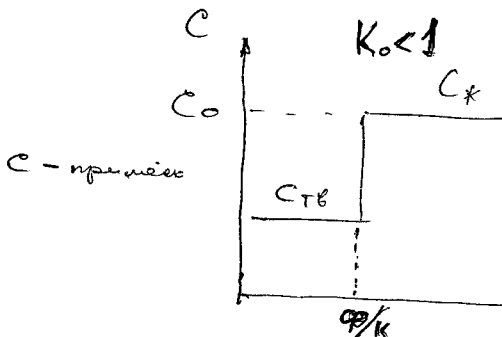


Чем интересна направленная кристаллизация?

$$K_o = \frac{C_{76}}{C_*}$$

- коэффициент распределения

отношение расстояния в твердой и жидкой фазе.

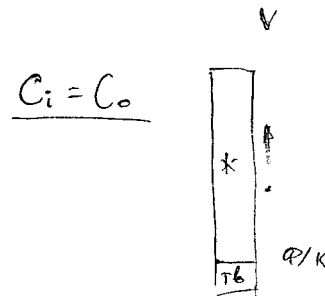
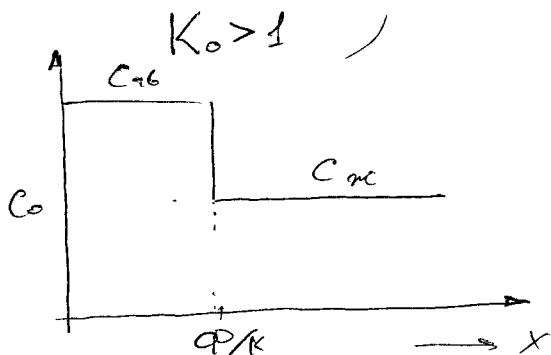


C — концентрация

i-ая
примесь

C_o

$K_o < 1$ Принес в бедствие из н. фазы в т. фазу.



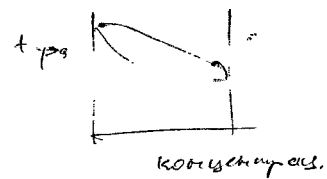
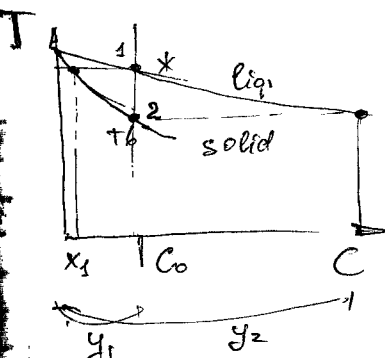
Распределение примесей в системе тераволимеро-
-богатые примеси в чисто генетрическом прослойке -
-гранича зерен.

C_0 - максимум концентр. примесей

$$C_{Tb} = K_o C_0$$

$$C_* = C_0 / K_o$$

Диаграмма (макс. зона)



$$1. \quad K_o = \frac{x_1}{y_1} = \frac{x_1}{C_0} = \frac{C_{Tb}}{C_0} \Rightarrow C_{Tb} = K_o C_0$$

$$2. \quad K_o = \frac{C_{Tb}}{C_x} = \frac{C_0}{C_x} = \frac{C_0}{C_*} \Rightarrow C_* = C_0 K_o$$

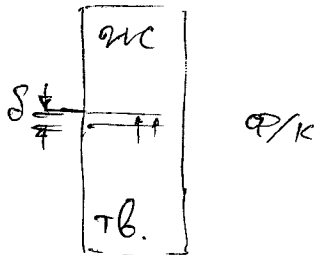
$$K_o = \frac{C_{TB}}{C_*}$$

Ряд факторов, влияющие на величину K_o

1. Термодинам. сб-бы криз-в Аи В в тб. и хидропр.
2. Кинетические процессы на ф/к тб. и х. опрз
3. Полнота массообмена на ф/к
4. Роль Φ/K

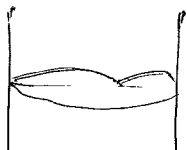
Кинетич. процессы.

Все процессы связанны с перемещением ф-ии из дромма кристаллов залежи



Полнота масс обмена

где величина $\delta \rightarrow 0$ свести к мин



U скорость
град T
размер $R(d)$

Форма Φ/K опр. $\frac{\partial c}{\partial z} / T_{\text{ре}}$
с. - ти т-ре коне.

2) скорость кристалл.
Тепловое условие на Φ/K ,
нижне T^* , скорость крист. фикс.
Размер кристалла неизвестен

Увеличение дисперсии \rightarrow уменьшение радиального
т-расстояния градиента.

$$K_{\text{эфф}} = \frac{K_0}{K_0 + (1 - K_0) e^{-\delta/\delta}}$$

0-

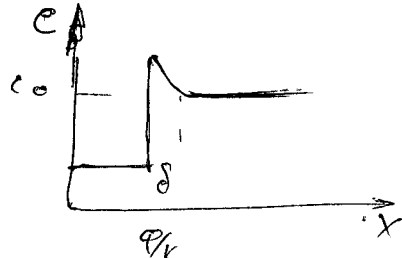
2-

δ - образец (обедненный) сдвиг на φ/K

$\frac{\delta V}{D}$ - безразмерный параметр кристаллизации

$$K_0 < 1$$

склонение кристаллов



K_0 -ное распределение K_0 .

Методы оценки: 1. Графический м-з, на основе DC

$$\operatorname{tg} \alpha = K_0$$

2. Расчетные м-зы, с использованием TD величин компон. A и B.

$$\ln K_0 = \ln \frac{C_0}{C_x} = \frac{\Delta H_{\text{ин}} + \Delta H_{\text{ст}} - \Delta H_{\text{т}}}{T \cdot R} - \frac{n S_{\text{ин}} + i S_{\text{ст}} - \Delta S_{\text{т}}}{R} \quad (*)$$

ΔH_{un} - менюое изобарии при изотермии

ΔH_* , ΔH_T - менюе симметрии в T , x_{AB} при изотермии

ΔS_{un} - изотропное изобарии при изотермии

ΔS_* , ΔS_T - изотропные симметрии в T , x_{AB} при изотермии

$$\Delta H_*, \Delta H_T, \Delta S_T, \Delta S_* = 0 \}$$

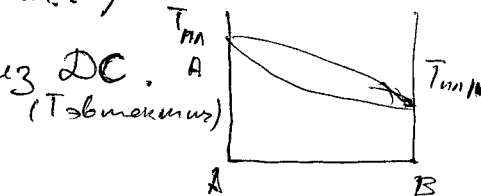
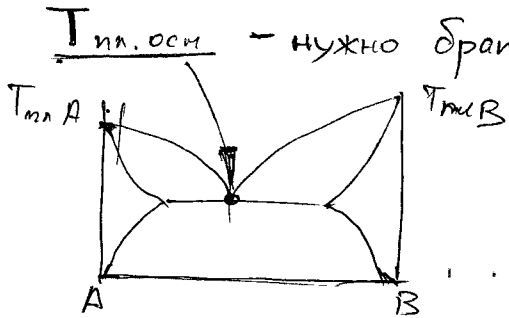
$$\Delta H_{un,i} = T_{un,i} \Delta S_{un}$$

Учитывая изобарии
симметрии (*)

$$Q = T_{un,i} \Delta S$$

$$\ln K_0 = \frac{\Delta H_{un,i}}{R} \left(\frac{1}{T_{un,osc}} - \frac{1}{T_{un,i}} \right)$$

Важно!



K_0 - некоторое TD величины гомогенности (AB)

Существует корреляция K_0 с близкими ΔH_{us} (испарения) (коэф. распределения)

C_{max} - max растворимость промежуточного со-вещ.

T_{un} - менюое изобарии

Контрольная работа. (Вариант № 1)

Диаграмма состояния Cu - Zn

лекция Ковтун Г.П.

09.12.2011
занятие

Направленная кристаллизация используется для
формирования ^{mono} кристаллов

Вар. монокристалл — состояние вещества, где
может складываться, что
отсутствует гранич. раздел ~~и~~
больше узких

Угол
разориентации
в поликристаллах

Монокристаллы обрезают различное вещество
— в осн. геометрические.

Зернистые
монокристаллы
сильно зернистые
— субмикроск. индукции.

Монокристаллы отдельного выделения, так

арсенид Ga, CdTe, CdZnTe

Na Cl

Приложение монокристаллов в технике: томографии
(демпектор - монокристалл)

Арсенид галлия (город) → демпектор
предобразование сопр. энергии

В ито

W, Mo, монокристаллы
изготовлены — используем для детекции

Пленочные монокристаллы — гетероструктуры.
Алмаз — высокая т-ра, давление при получении.

C — механическое расщепление

Сапфир. Al_2O_3 — закристаллизован расплав. ЦЕЗИЙ

Монокристаллические пластины кремния Si выделены с помощью дисков, покрытых искусственными алмазами

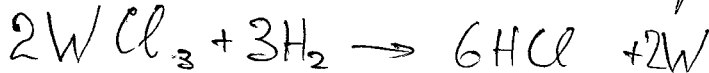
Методы получения монокристаллов (физ.-хим.)

TiO_2 — в природе "усы" — волосы Венеры, 100-150

Искусственный TiO_2 — обладает прямостью близкой к теоретической!

1. Кристаллизация из первичной фазы — этический способ — им. монокр. структура раз.

2. Уз соединений — метод транспортной реокуми.



Лито
методы

$2WCB_3$

схема метода оценки

W (веса)

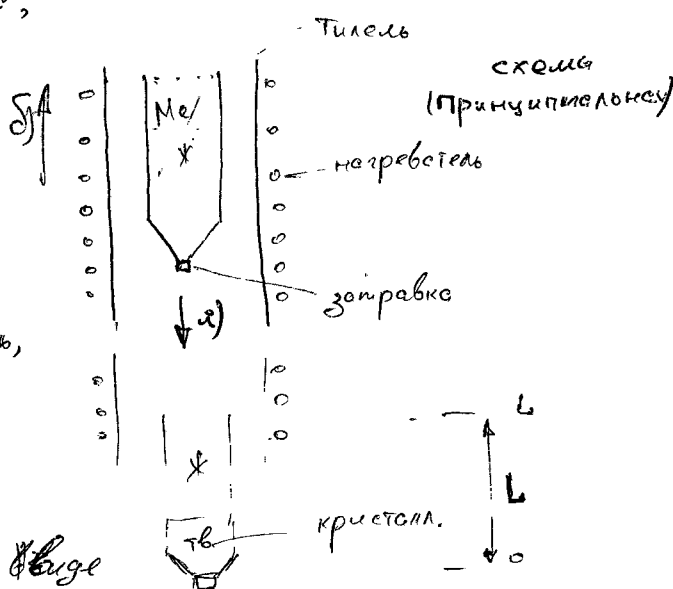
$\sim 1000^{\circ}\text{C}$

3. Выращивание из расплава (основной метод)

- Бриджмен;
- Чодрелотского;
- Зонная плавка;
- Версейцев;

метод Бриджмена:

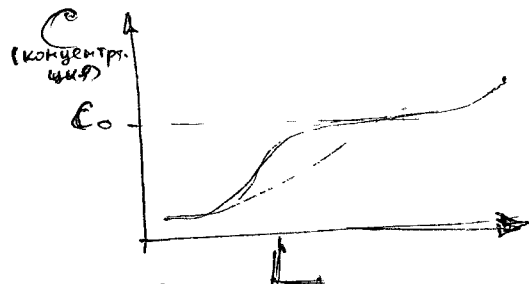
затравка - монокристалл
из того же вещества



- таким образом можно охладить, выведя из зоны нагрева,
- нагреватель поднимают вверх.

Все это целесообразно.
композиты — в кристаллах.

примеси
распределение



$$K_0 = \frac{C_0}{C_{\infty}}$$

Ликвидация по удельному весу —

примесь будут распределены в зависимости от удельного веса.

Al $d_{Al} \approx 2,5 \text{ г/см}^3$

$d_{Fe} \approx 7,8 \text{ г/см}^3$

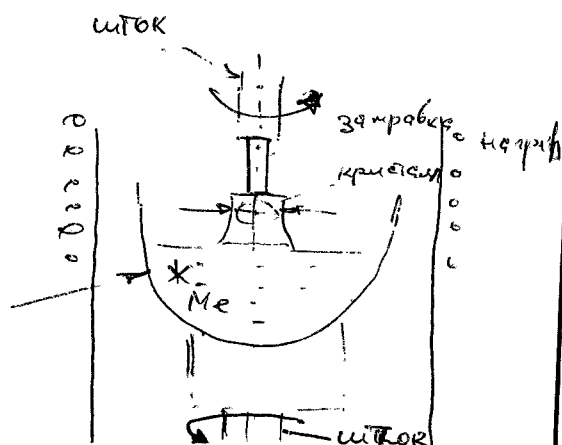
$$\left| \begin{array}{l} d_i \\ W \end{array} \right| \begin{array}{l} \sim 10 \\ \sim 20 \end{array}$$

Метод Чохральского

(k/m)

схема:

тигель
(кварц)



Принцип работы:

- 1) заправка к^е штока соприкасается с поверхностью стекла дискового штака
- 2) вытягивается кристалл из расплава

$$\Phi_1 < \Phi_2 < \Phi_3 \quad Si$$

т-загор 0,5 мм/мин.

δ | * | свой обедненный (δ)

- 3) За счет вращения верхнего и нижнего штоков в разных направлениях \rightarrow зона (δ) будет активно перемещиваться

предование по правилам 10^{15} см^{-3} (Si)

80% кристаллов получают м-дом Чохральского

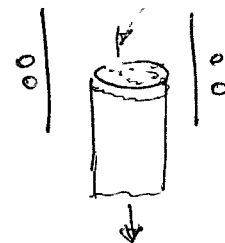
материалы могут: к верху, вниз, градиент...

Возможна подачка материала в тигель.

Важно минимизировать дисперсию монокристалла.

Бункер

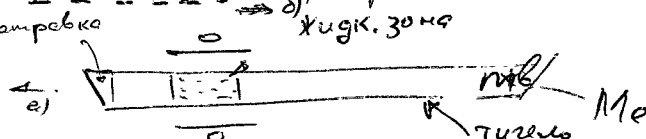
Метод Вернеля



добавляется из бункера
материал, дающее
избавиться - опускается -
- формируется

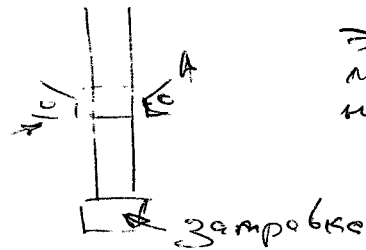
Метод заполненной плавки (перекристаллизации)

Схема А
(гориз)



и очистка

РМС Б (Вернеля)



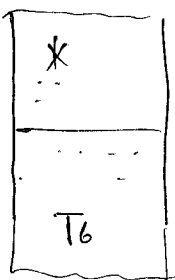
электрический
излучебный
изогреватель,

излучебная
плавка

с помощью зонной плавки

Возможно -
- покровительное вещество.
использование алюминия.

Тепловые условия на фронте кристаллизации



фронти
кристаллизации

На ф/к реализуется

Условие равновесия

$$K_s G_s = K_L G_L$$

$$A_s = A_L$$

K_s, K_L - коэф. теплопроводности фен-6s и Tб. в т. др.

G_s, G_L - град. т-пер в т. и Tб. фазе
градиенты

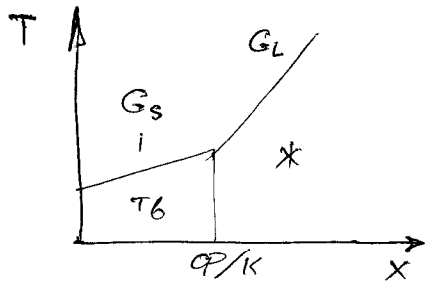


График градиентов т-ур.

Реальное состояние

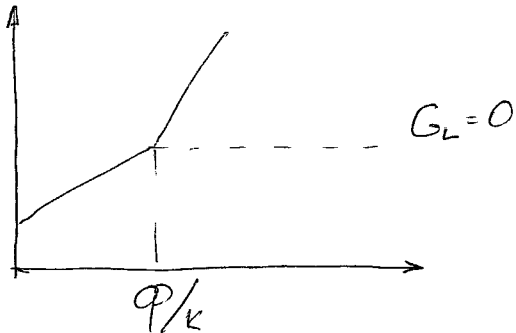
Перемещение ф/к: $K_s G_s = K_L G_L + \underbrace{Q p \vartheta}_{\text{в/}}$

Q - темпома плавления

p - плотность бенз-б

ϑ - скорость перемещ. (ф/к) фронта кристаллиз.

V - скорость орошения/кристалл.



$$V_{\max} = \frac{K_s G_s}{Q_p}, \quad \text{но} \quad V_{\text{раб}} < V_{\max}$$

Условия:

1) Венчесенко - Киссе

2) Чист

→ рафинирование (1)

структурное
составление (2)

многоизбыточн.
+ минимум дефектов

W, Re, Mo

$V = 3-5 \text{ мм/мин}$

Si

$V < 1 \text{ мм/мин}$

C

$\sim 0,3-0,1 \text{ мм/мин}$

Беззасыпкационный кристалл

плотность засыпки

Si $d = \sim 10^1 \text{ см}^{-2}$

Mo $d = \sim 10^4 \text{ см}^{-2}$

2) Морфология поверхности раздела kg Q/k

структуре, микроструктуре "Строение"

Типы поверхности раздела. (6 типов)

- склонистая (струйная.)
- гладкая
- десорбционная

Способ синтеза —
декомпозиция — разное разделение \star и т.д. части.
— струя раз.

разделение тв. и \star . фазы много возможн.

Параметры, определяющие морфологию поверхн. раздела.

1. Наличие примесей (концентраций),
числоматериалов.
2. Скорость кристаллизации — v
3. Традиции температура T и δ /к. Гофк

① Склонистая структура — формируется если:

числоматериалов $C_0 \leftarrow$; скорость малая $v \leftarrow$;
высокий градиент δ $G \rightarrow$

т.е. практические равновесные условия
чистой структуры \rightarrow

1. антиподы макромолекул
2. антиподы макромолекул

критерий Джексона α — критерий образования

$$\alpha = \frac{Q}{R T_{nn}} \gamma$$

Q — теплоемкость плавления
 T_{nn} — температура плавления
 R — разобр. постоянная

γ — коэффиц.
 $\approx 0,5 \div 1$

$$\frac{Q}{T_{in}} = \Delta S$$

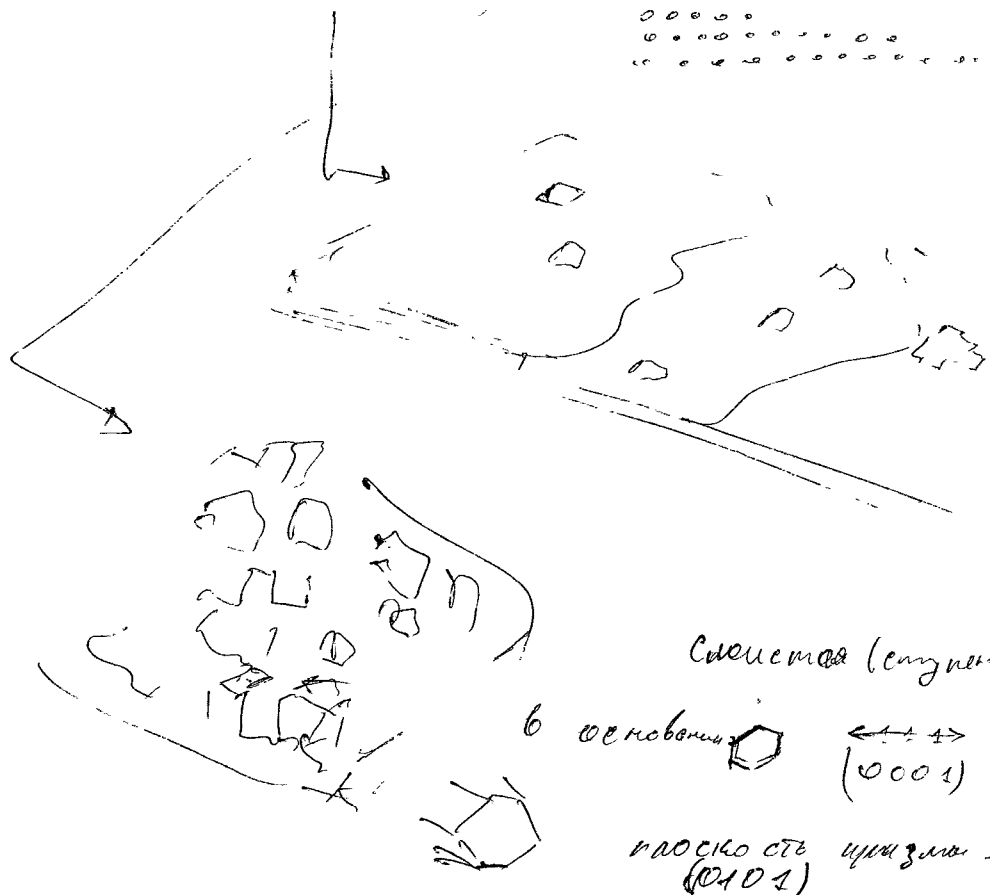
Энтропийные
смещения

$$d = \frac{\Delta S}{R} \gamma$$

- критерий Дюексона (через ΔS)

$d > 2$ отмко гладкая
 $d < 2$ — « мероховатая поверхн. (Мо)

Скорость роста 1.1 от 1.2 отмкн. $\mu\text{m} \cdot 10^3$
 Качественное
 различие 2.1 и 2.2.



отмко
 эрозионе
 спиритом
 к убиви,
 с

сдесмка (супер-)

6 оснований (0001)

наоско оте цизом Гро
 (0101)

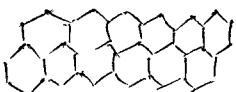
(11.20) - плоскость аризии II рода

но шире роста индексов ...

② Ячеистая структура

- фрагменты или
комплекты ячеек

и части граней

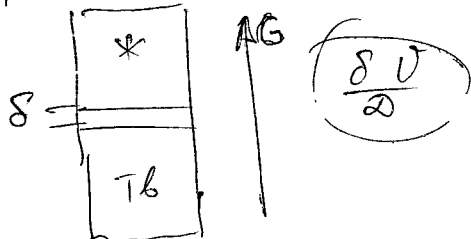


$V, G, G_0 \rightarrow$

основной фактор формирования яч. стр.

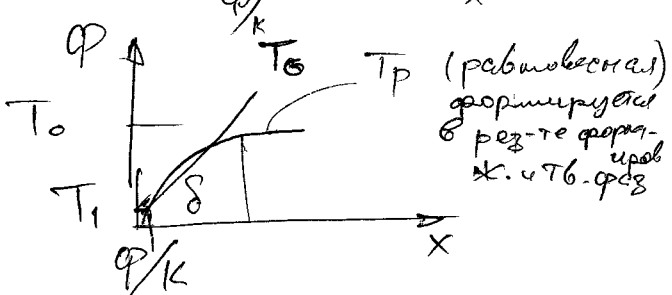
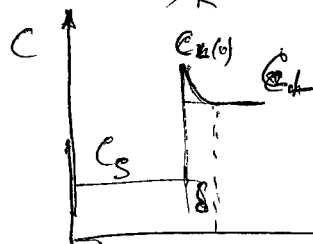
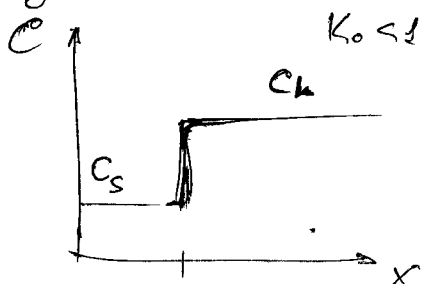
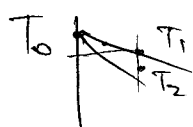
Факторы

Формирование дислок. стр. \rightarrow наименее концентрированного перехода к дислок.



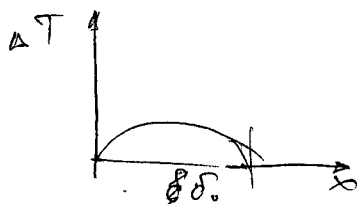
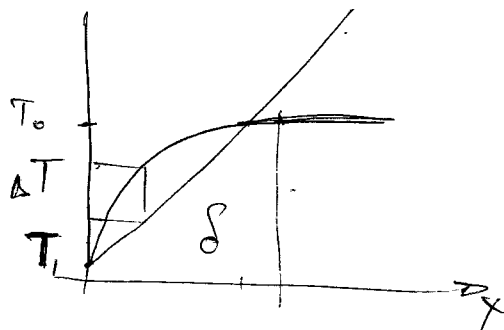
Уменьшение прохождения концентрации
происходит по эксп-му
закону

В зоне S равновесная
температура повышается

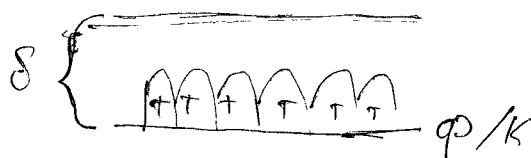


3) Традиционн. т-рбл формирует т-ры

T_G - температура формирующая град. ^{с.т. с.т. град.}



Концентрационное перенесение
— отличие между
реальной т-рой распределения
и равнобесностью



$K_0 < 1$ — граница односторонней
примеси или зоны диффузии.

нестационарное заронение и рост в зоне δ

Все зависит от С. О., G

Условия возникновения (формирования) зон

стабильности

$$\frac{G_L}{\sigma} \leq \frac{m(1-K_0)C_{h(0)}}{D_L K_0}$$

G_L — среднемасс. расход φ

σ — скорость кристаллизации

D_L — коэф-т дифузии промеси в φ в φ зоне

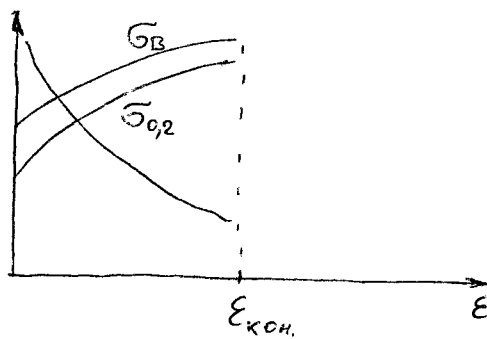
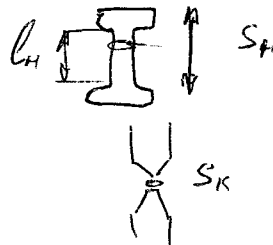
$C_{L(0)}$ — концентрац. промежуточного элемента в с
огранич. зоне газа

m — стационарное значение т-ра изотермы
са по мере извлеч. концентр.
при этом в зоне δ .

K_0 — равновесная конц.-т распределения

9.02.2012г.
четверг.Тема: Возвращение и рекристаллизация металлов.Запасы потен. энергии при деформации \rightarrow бн. энергия удлин.Наклонный метод — метод продеформирований.

Наклон — появление прогностических кривых в результате его деформации.

Результат \rightarrow израсч. дополнит. энергиинагружен.
прогност. δ 
 $\sigma_{0,2}$ — условная предел текучести


отношение пластичности

n

$$\sigma_B = \frac{P}{S} \quad \sigma_{0,2} = \frac{P}{S} \quad \varepsilon = 0,2\% \quad \left| \begin{array}{l} \delta = \frac{l_K - l_H}{l_H} \cdot 100\% \\ \text{погрешность.} \end{array} \right.$$

cb-fa
Ме (при экстензии)

$$\text{удлинение } \Psi = \frac{S_n - S_K}{H} \cdot 100\%$$

прогносто
условного предела текучести
удлинение, сужение

Процесс отжига T_B , $G_{0,2}$, δ , Ψ сущ-
щимся в исходное состояние

время

$$T = T_0 \exp\left(\frac{Q}{RT}\right)$$

издп

Q - Энерг. актнв. процесса
R - конст. состояния
T - температура

переход —
меняясь от нач. сост. к конф.
конф.

Процессы при вождении:

- 1) к изменению св-в
2) изменение ^{структурного} состояния
- называются
- Возврат и
рекристаллизующий
переходы.

Возврат — переход к исходному
состоинию.

B. — собокупность процессов первич. струк.
соверш. во кристаллизации без
изменения размеров и формы
зёрен ограниченно большими условиями
граничами.

(*) новых структурных совершенствований не имеется.
и гаситемают восстановление его св-в.

Возврат (термн.) : - Отых (1)
- изогревающий (2)

автомобиль
компания

1) Металл после отдохна. Отых — частичное

постоянное св-в металла по сче упрочн.
и блеском водойстриями (деформациями)

2) — Радиц. упрочнение) ЗАКЕЛКА без структурных
изменений!!!

Особенности отдохса:

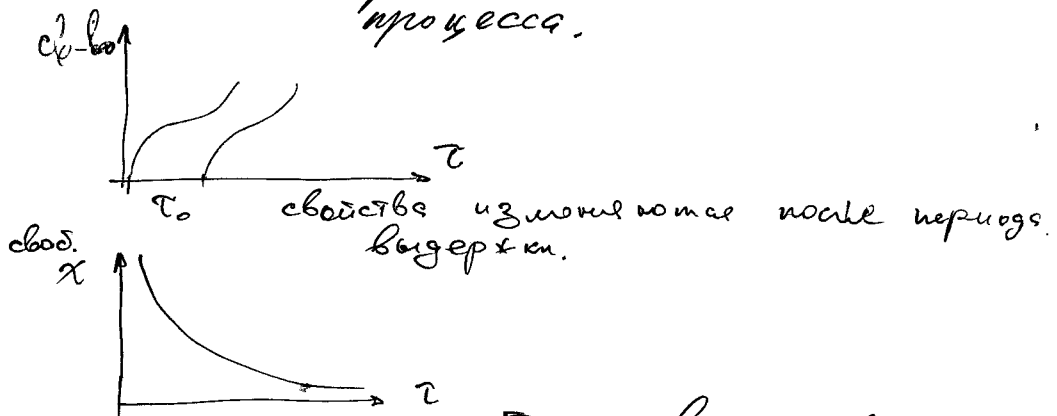
① Частичное восстановление об-бс: тепло проводки

$$\left[\begin{matrix} \lambda \\ H_v \\ G_B \\ \delta \end{matrix} \right] \text{ меняется.}$$

$$\left[\begin{matrix} P \\ H_v \\ G_B \\ \delta, \gamma \end{matrix} \right] \begin{matrix} \leftarrow 20..30\% \\ \leftarrow 10..15\% \\ \rightarrow \end{matrix}$$

② Нет инкубационного периода. (инк. пер.)

Инк. период $\equiv T_0$ — время необходимое до начала протекания того или иного процесса.



3.

$$X = 1 - \exp\left(-\frac{Q}{RT}\right)$$

Для восстанови.

Q - энергия активации
или вид каскад.
R - разобр. конс.

$$\frac{dX}{dT} = \frac{Q}{RT^2}$$

$$= \frac{A}{T}$$

4. $T_{\text{отд}} \approx 0,3 T_{\text{ин}}$

$t_{\text{пер}}$ макс
в нач. момент времени.

$T_{\text{ин}}$ — т-ра плавления Me

т-ра
плавления
(процесс)

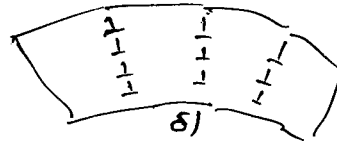
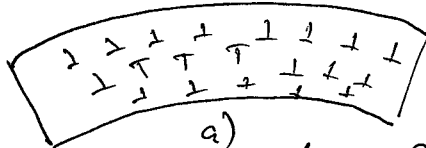
Причины отвода.

дефекты
дислокации.
может под.

- ⇒ электро сопротивление Си
- < при охлаждении
- > при прокатке.

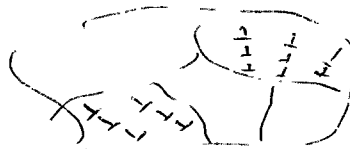
Перераспределение и уменьшение напр. может. дефектов и дислокаций

(2) Полигонизация — процесс навоин. структуры на рабочей поверхности деформированных материалов за счёт перераспределения дислокаций с образованием низкоугловых субградиентов.



при нагреве $< 0,3 T_{пл.}$ и плотность дислокаций уменьшается (доминируют L и T) В каждом отдельном зерне свою структуру

Полигонизация может быть не всегда.

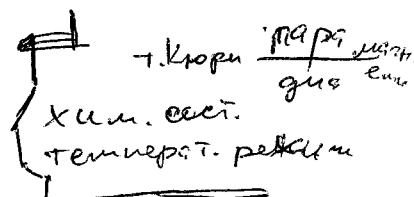


$$T_{пл.} < 0,3 T_{пл.}$$

Кремнистое железо

Полигонизация в процессе охлаждения.

- 1. Время
- 2. Температура



Рекристаллизация

при $T \rightarrow \gamma \rightarrow$ новое.
стадии когрета происходит в стад. Рекристаллизации

Рекристаллизация — процесс зарождения и роста новых зерен после механ.-термической обработки, приводящих их вновь в структурное состояние. внутренней энергии материала.

Проц. РЕКРИСТАЛЛИЗАЦИИ происходит между возникновением и движением или исчезновением движущих гравитационных зерен

Стадии Р-ции:

первичная	P-1	(1)	ПР
содирективная	P-2	(2)	СР
вторичная	P-3	(3)	ВР

1) ПР (первичная) — процесс зарождения первичных зерен до момента соприкосновения с соседними рекристаллизующимися зернами обработки — момент превращения в мелкозернистую структуру с множеством мелких зерен

процессов (2)

- Новое структурное состояние
- практическое исчезновение Мем. (до деформации)

Новое зерно с структурой:

Центры Р-ции — далек от сферы

γ — разные кривизны и оптику при обходе. 
комбинированы и получены от тонких к толстым.

Где? фрагм. Ц.Р. \rightarrow в местах максимального кристаллизационного роста

- (- стеки гранич зёрен (угол разогрева $> 20^\circ$)
 - тройные стеки
 - включение вторичных фаз)

→ первич. плавление дислокаций и пр. дисперсия
 $\max \delta_{\text{МР}} = 0.1 \mu\text{мкр.}$

КАК? формир Ц.Р.

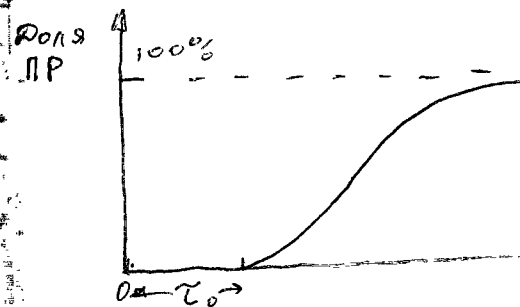
① формир многоугловых гранич зёрен (суб.)

② большеугловые гранич зёрен.

③ Миграция большеугловых гранич зёрен
 приводит к формир рельефно структур зерна (рельеф моря).

1) Более совершенная структура новосформированных зерен (менее дисперсия)

2) у Ц.Р есть инкубационный период.



T_0 - инкуб. период.

$$T = \text{const}$$

Время необходимо для перестройки зерен дисперсии.

(поглощение с формир вторич. зерен)

продолжал время нагрева $T > 1 \text{ часа}$ (учт.)

С.Р (собирательная) - укрупнение зёрен
 за счёт соседних т.е.

вместо 3-5 формируется 1 зерно.
 Уменьшается сист. 94-я система за счёт укрупнения

Зерногранулометрической поверхности зерна.

$$G_{\text{сум}} = \sum G_{eg} \cdot S$$

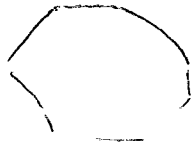
↑ азимут поверхности.

$$S_1 \leftarrow (\text{усл.-е площади } 10 \rightarrow 1)$$

может называться

(3) В.Р. (вторичная) — образование новых зерен в структуре исходного зерна Рекристаллизации.

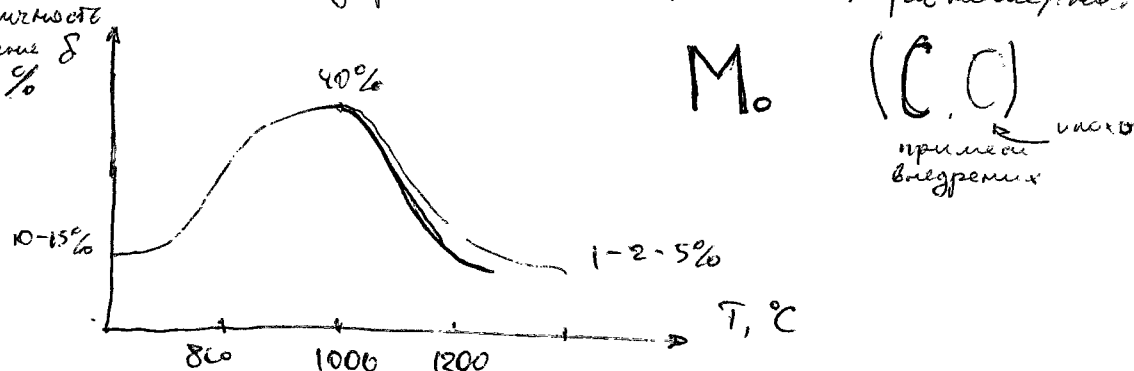
Принцип зернистого риффинга — получение зерен кристаллов. Стабильная структура — нестабильное состояние \rightarrow переход в нестабильную структуру. \rightarrow укрупнение зерна.



Более стабильное зерно будет расти
и меняться: α — исчезновение

Наиболее стабильное зерно с 6ю сторонами $< 120^\circ$

Плотность деформации не зависит от равномерности пластичности

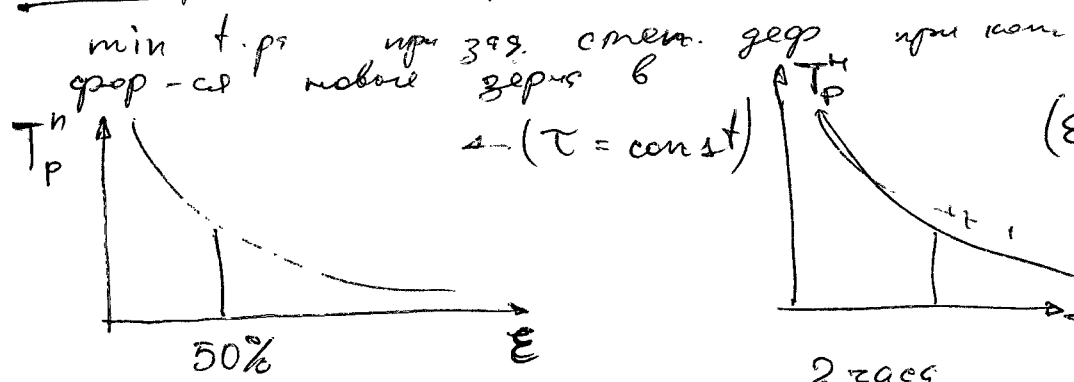


При новом. типе до 1200°C

Неравномерное распределение

\rightarrow сменение деформации t -ра означает

Изм-рэ коралг рекреции изгасим: T_p^H



$$(\varepsilon = \text{const})$$

$$\varepsilon = 50\% \\ \tau = 2 \text{ зас}$$

$| T_p^H$ (максимальное значение T_p^H)

T_p^H Наиболее приемлемое значение материала, в кот. максимальное.

Факторы Влияющие на T_p^H

1. Число материала $\sum c_i \rightarrow \min$

Число материалов имеет значение.] $T_p^H \leftarrow$ (суммой)
 Al и дюроком (сталь)
 100° ~200° (сталь)

$$| z_e - z | = \Delta z \rightarrow , T_p^H \rightarrow$$

2. c_i - макс $c_i \leftarrow T_p^H \rightarrow$ принес
в. расчет

3. Число материала и температура (практический ΔT)
 Наиболее резко изменяется $T_p^H \sim \Delta T$

1% ог.% малые дозы пиротермическое - сильная реакция горения

Однородный сплав

Многофазный сплав - дисперсия частиц упрощает

$$\Sigma = 50\% \quad | \quad T_p^H$$

$$T_p^H \sim (0,2 \div 0,3) T_{\text{пл}} \quad - \text{чистое Me}$$

$$T_p^H \sim (0,35 \div 0,4) T_{\text{пл}} \quad - \sum C_i \sim n \cdot 10^{-2} \frac{\text{см}}{\text{с}}$$

однор.

76,р.р.

$$T_p^H = (0,5 \div 0,6) T_{\text{пл}}$$

стеклоизд.

$$T_p^H = (0,6 \div 0,8) T_{\text{пл}}$$

$$(многофаз.)$$

16.12.2012 лекция Ковтун Г.П.
семестр.

Движущая сила процесса рекристаллизации

При прокатке (волочении) материала запасают избыток свободной энергии

Движущей силой рекристаллизации является избыточная свободная энергия F

$$\Delta F = \frac{\Delta F}{V}; \frac{\Delta F}{S} = P_{gb} (P_{ob}, P_{op}, P_{mb})$$

Перв. P
Собир. P
Вторич. P

объемная
гранична
поверхностная

P.5 Объемная — d , вакансии
напр.к. I, II рода

Гранитная — поверхность зёрен
т.е. ΣS дис., не Род дис.

Поверхн. — разное кристаллографич. наименование разного зондирования поверхности напряжений.

Cu, As, Fe $\gamma_s(111)$ и $\gamma_s(100)$
I борение II ски борение 3-30%

Род — Род (Перв. Р) т.ч. резко уменьшается Р
различных дефектов.
Max-и возврат сб-б металла.

Род — Род (Содир. Р) — рост зёрен ΣS ; дис. т.ч. междислок. Энергия проводной твёрдости пластичности

— Род, Род, Род (Вторич. Р)

около 10% факторы, влияющие на произ. Перв. Р-ции
химический, фазовый состав дис. T_p^H ($E=50\%$)

Чистый металл 99,9999% (6N)

T_p^H (0,2-0,3) Тпл.

Металл технической чистоты 99,90-99,99

T_p^H (0,35-0,4) Тпл

Сплав (однородный) — твёрдый раствор

T_p^H (0,5-0,6) Тпл

предел.

(6N)

99,99%
6N BS

—

4. Стареющие сплавы (многофазные)

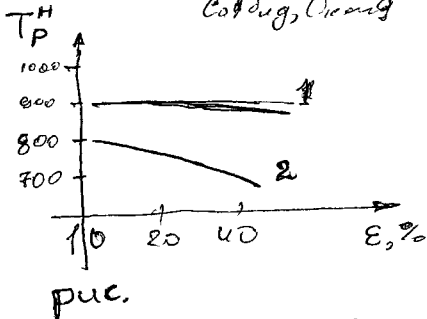
$$T_p^H (0,6 - 0,8) T_{\text{пл}}$$

м. раствор.
термост. сплз.
Содруж. Орнг

Пример: 1) Ni - Cr - Al - Ti - Co

2) Ni - Cr

T_p^H должно быть как можно выше



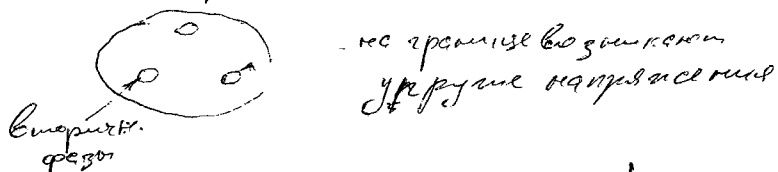
Воздушноческое твердение в стареющем сплаве →
Буртом не состоит

Влияние размера частиц вторичных фаз.

Вариант 1. $\tau_a > n \cdot 0,1 \text{ мкм}$ $C \leq n \cdot 1\%$ (макс.)

К рис.

τ_a - расм. и/вакум. $\gg \tau_a : T_p^H$ попадает (макс.)



(у. пл. Р. - у.)

2. $\tau_a \ll n \cdot 0,1 \text{ мкм}$ τ_a - мало

$\sum C_i \gg n \cdot 1\%$ (макс.) : T_p^H повышается
концентр. \uparrow вс. фаз

$$P_{\text{вл}} < P_{\text{пар}}$$

$$P_{\text{вл}} \approx \frac{3f}{d} \cdot E_{\text{ср}}$$

T_p^H расст.

f - объемная доля частиц
 d - диам. границы зерен

$T_p^H \uparrow$ Повышение T_p^H при возрастании:
1) E деформ. упаковки

— наруч. передовомъ слое ПУ

2) Долг изнашиваний слоевъ повышалась

3) Ат. симпл. $\Pi - H_{\text{заря}}$ со спареніемъ
г. з. бр.

сопр. перен. дистанції.

се спарені
рентгені

Внешние факторы на проц. РЕКРИСТАЛИЗ.

$$D = f(\varepsilon, \dot{\varepsilon}, T, \zeta)$$

$$N = \frac{\Delta n}{\Delta t} \left[\frac{\text{числ}}{\text{св.бр}} \right] \text{скорость зародыши Ч.Р.}$$

$$G = \frac{\Delta D}{\Delta t} \left[\frac{\text{числ}}{\text{св.бр}} \right] \text{скорость роста центров
зародыши}$$

ε степень деформации.

Критич. степень деформации

$$\varepsilon \sim (1-15)\%$$

малые деформации \Rightarrow большая скорость
зародыши по кристаллизации в участк. \Rightarrow различ. стеч.

Эксп. —

Где макс. значение деформации: четыри
кристаллизации —

$\dot{\varepsilon}$ скорость деформации. Видение $\dot{\varepsilon}$:

двигатель монотонной

$$\varepsilon > \varepsilon_{kp} \quad \dot{\varepsilon} \uparrow \quad T_f \downarrow$$

при $\varepsilon < \varepsilon_{kp}$ $\dot{\varepsilon}$ не монотонна

T, τ температура, время

$$N = N_0 \exp(-Q_n/RT)$$

$$G = G_0 \exp(-Q_c/RT)$$

Q_n — энергия активации
вздохн.

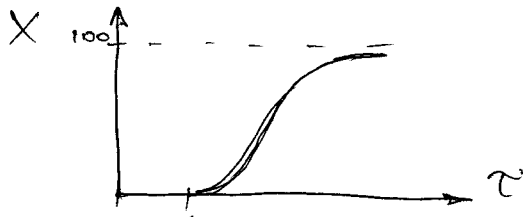
Q_c — " " роста центров.

$T \uparrow N, G \uparrow$

Перв.Р

$$T = f \exp \left(\frac{Q_p}{RT} \right) : T \uparrow : T \downarrow$$

Q_p - энергия активации проц. рекристаллиз.



инкубацион. период

$$4 \frac{\Delta T}{\Delta t}$$

скорость нагрева

$$\begin{matrix} \uparrow \\ D \downarrow \end{matrix}$$

велич. зерна

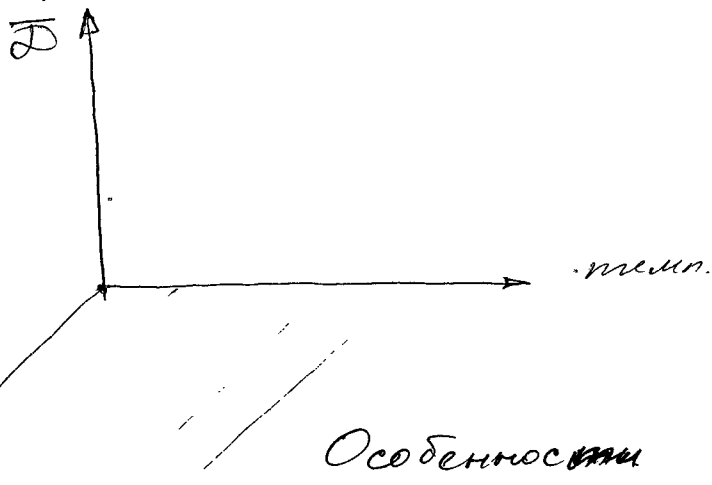
Табл.

Размер зерна от факторов $D = f(T, \frac{\Delta T}{\Delta t}, \varepsilon, \varphi, c)$

факторы воздейств.	N	G	\mathcal{D} после Перв.Р
Т (степ-р)	$N = f \exp(1)$ $N \uparrow$	$G \uparrow$ Следее N	Уменьшается
степень деформации ε	\uparrow	\uparrow следее N	изменяется
скорость нагрева декориеву	\uparrow	\uparrow	слабо изм
инерц. турбулентн (втор. волна)	\uparrow	\uparrow	изменяется

Диаграмма рекристаллизации - степень величины зерна в зависимости

Диагр. Р-зера I рода



- 1) Число волнистых ПР не хуже E_{min} и имеющее небольшую деградацию.
 - 2) Если деградация мало, то это можно повысить.
 - 3) Если время нагрева увеличивается, то это уменьшает T_P^* .
 - 4) \bar{D} (ср. размер бел.-хол зерна) сильно зависит от E и меньше при нагреве.
- $D_{min} \downarrow$, если $E \uparrow$ Тождество между
бесконечн.
- 5) $D_{max} \uparrow$ если $E \uparrow$ и можно
максимально продеградировать зерно ПР
 - 6) Если время уменьшить $t \downarrow$, то размер зерна $\bar{D} \uparrow$ уменьшается.

Динамическая рекристаллизация

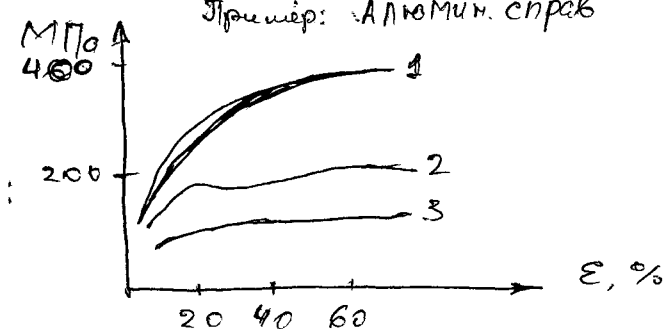
$E_{\text{н. geopol.}} + \text{Омутер}$ } - статическая рекристаллизация
исследованием.

$E_{\text{дегор.}}$ с одновременным нагревом наз-т Динамикой

Динамическая Р-цикл - рекристалл. в процессе нагрева дегорючими

Возбуждение, пересыпка (упруг. резонансное течение)
шаг I и шаг II в зависимости от t -ра
Пример: Алюминий сплав

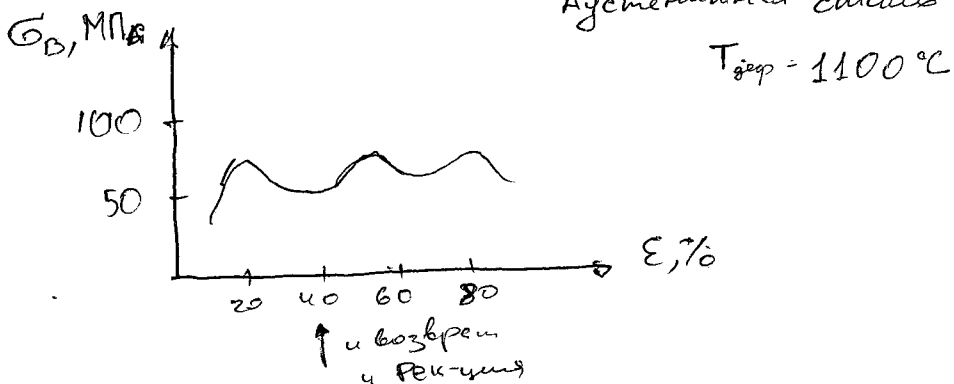
прочность
после
дегорюч.



- 1) Дегорючий при 20°C
- 2) — — — при 200°C
- 3) — — — при 400°C

2 - если процесс возбуждения (шаги)

3 - дегорючим и сразу восстановленный.
Аустенитная сталь



$$T_{\text{дегор.}} = 1100^{\circ}\text{C}$$

$$\frac{\Delta \sigma}{\Delta \varepsilon} \sim \frac{E}{D \cdot E_{\text{дегор.}}} - \text{коэф. упрочнения}$$

D - коэф. дегорючим

прирост прочности
послед. дегорюч.

Описание Дин-кай Р-ции от Стам. Р-ции

- Субструктура Дин.Р-ци. менее стабильна
по сравнению со структурой ртг. мет. ил.
но не стабильна.
- Рекр. зерна несущ. Дин.Р-ци. имеют
более изоморф. ионного ядра.
Твердость $H_V \text{ фр} > H_V \text{ сп}$
- Цемент Р-ци. при Дин.Р-ци. наход.
~~ион~~
у промес. исходит зерен "языки"
- Макром - ориентированная ^{распределение} структура
составленных систем макр. зерн.
Макроструктура деформации ~~и~~ соединен с макротекстурой Рекр.

$$\frac{DP}{CP}: \quad T_D = TP \\ T_\Delta \neq TP$$

Строение Диаграмм Динамик. Рекрист.



Различают² виды
Диагр. Дин.Р-ци.
— II pog
— III pog

принципиальные различия:
несущ. зерн. и T деформации.
II pog $\bar{\sigma}$ несущ. зерн. и T деформации + $T_{окт}$
III pog $\bar{\sigma}$

Текстура

Текстура — ориентированное расположение в твёрдом теле обработанных его частей.

Мех. ч

— кристаллографическая текстура
одного определенного
кристаллоредукционных направлений.

Основа структуры

Полная текстура — Т-РД Всё это опред-ю кристаллограф.
направления

— расположение зерен вдоль определенных плоскостей,
 $\{nkl\}$ плоск. $\langle uvw \rangle$

ДЛК $\{001\} \langle 110 \rangle$

ГЦК $\{110\} \langle 112 \rangle$

ГПУ $\{0001\} \langle 112\bar{1} \rangle \quad c/a = 1,633$

Текстура определяет анизотропию свойств материалов.

100 110 — это индекс редукции.

Текстурированный
материал

Эл. Маг.

Текстура реальных
материалов

лекция Ковтун Г.П.

23.02.2012
гемвр

. Тема: Стали и сплавы

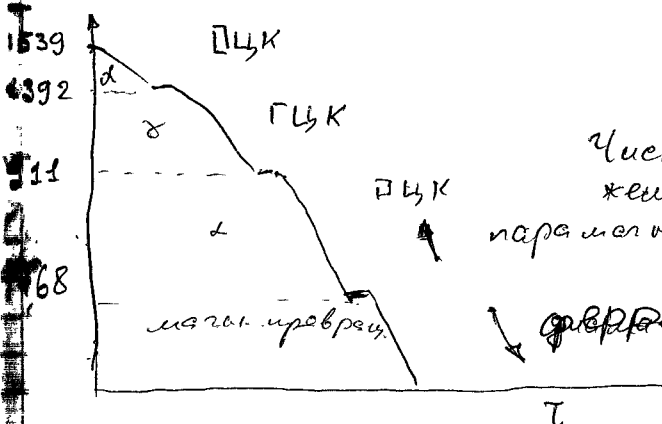
Сплав — сплавленные или др.
материалы с разными свойствами и более
комплексной структурой.

Сталь — это сплав, где $Fe > 50\%$
 $Fe < 50\%$

Неравномерное сжатие $\Delta H_{18} T_{10}$.
Сплавы могут быть и без никеля, никелево-хром.

По объему потребления Э листа заменяют
сталью. Основной сплав диаграмма Fe-C

Fe. $T_{un.} = 1539^{\circ}\text{C}$



1539 - 1392°C - ПЦК
1392 - 911°C - ГЦК
911 - .. ПЦК
768 - Т. Кора
(магниевород.)

чистое 2-яр. пр. I рода
железо 1-яр. пр. II рода

парциал. кристал.

специф. кристал.

Поморфное - изм. типа присталики, решётки.

I рода - измениение плотности
связок TD функции
тепловой эффект $Q \neq 0$.

Типы:
Жигк. - кристаллическое сочт.
ПАР - твердое тело, ПАР - жигк.
Сборно-разборочность I рода.

рода - изменение все испаряется $p = \text{const}$
кристаллизации структуры

Не изменяется TD ф-ции

Изменения II превращение TD ф-ции
изменяется $\Delta H_{18} T_{10}$ в результате изменения
может изменяться магнитные свойства (станиновые резинки)

М. фазы - направление сжатия, напряжение.

дополн. - приобретение определённых магнито-
электрических свойств в результате нагрева (поступления).

Параллелепипед — выделение магн. поля зерен
на вакуум.

В уп. внешнего магн. поля — др. индукс. магн. сбб
ион. сработавшись с динамич. магн. пол.

Если убрать ~~т.к.~~ Ном — , то ваку. во. передает магн.
Ном остаточной намагниченностю.

Диамагнетик — не размагнитят на Фарадея.

Диагр. состоян Fe-C

1. Равновесн. сост. $\text{Fe} - 6,67\% (\text{Fe}_3\text{C})$ цементит

1.1 Однородные состояния

α -Fe.

ЛЛК — бывокомпиратурной феррит
— аустенит — твердый раствор С в γ -Fe
 $C_{max} = 2,14\%$
— феррит — тв. раствор углерода в α -Fe
 $C_{max} \sim 0,02\%$

Св-ва аустенита более прочности
феррита

A_g $\sigma = \sim 300 \dots 350 \text{ MPa}$ $\delta = \sim 30 \dots 40$ массогаз.

P $\sigma \sim 250$ $\delta \sim 50$

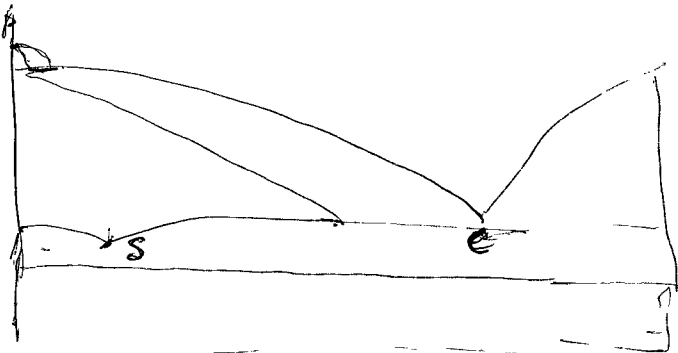
— цементит — нестабильная форма $\text{Fe}_3\text{C} \rightarrow \text{Fe}_2\text{C}$.
— чистый углерод — пластичен, смертен.

1.2 Двухфазное состояние

+ C — $L \rightarrow A_g + U$ $4,3^{\circ}\text{C}$ Эвтектическое

1147°C ледобурит — Эвтектическая
Смесь феррит

+ S — $A \rightarrow \text{Феррит} + U$ и цементит
727°C перлит Эвтектическое



переходная
стадия

Перлит — смесь Феррита и Чементита Fe_3C

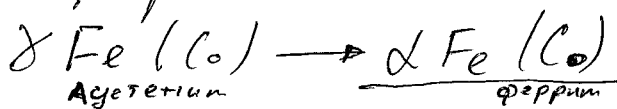
может приобретать разное строение в зависимости от времени и температуры.

и. сорбит и. троостит бейнит	разное строение соотв. рис. чементита в феррите.
------------------------------------	-----------------------------------------------------

ИГОЛЬЧ.
строение

2. Неравновесные состояния

Мартенситные превращения — неравновесное превращ. — смесь десорб. оксидов.



и. гольч.
и. оголоч.
стремление

Мартенсит — переохлажденный тв. раствор с десорб. в $\alpha\text{-Fe}$ искусственной скор. — темп. охлаждения $\text{t}_{\alpha} > 1$

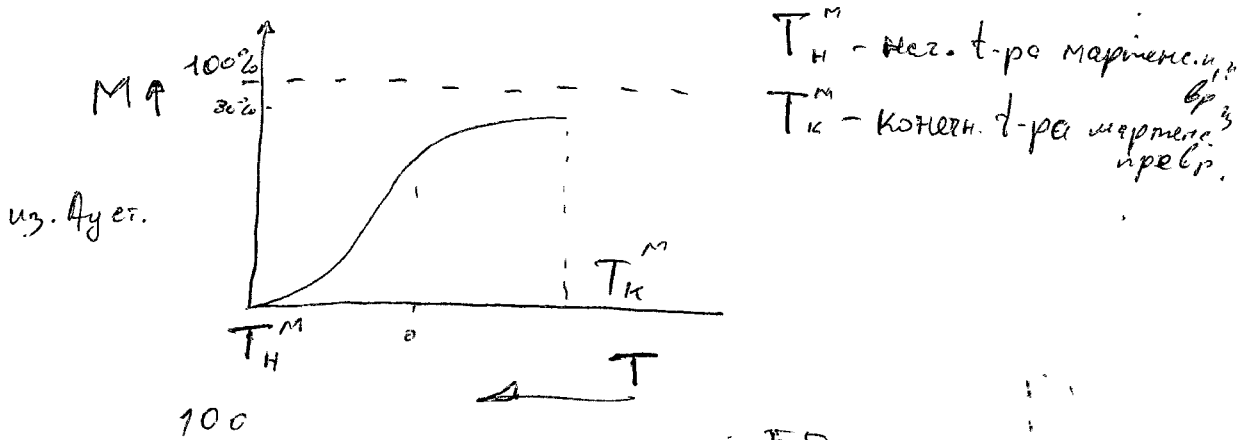
свойства мартенсита. ораз.

- бездиффузионное превращение (нет индузии).

- выделение март. фазы если охлаждено быстрее (участок $60^\circ, 120^\circ$ — краткое 60°)

- мартенситное превращ. \rightarrow мгновенное 10^{-7} с (огр.) полной превращ. 10^{-3} с .

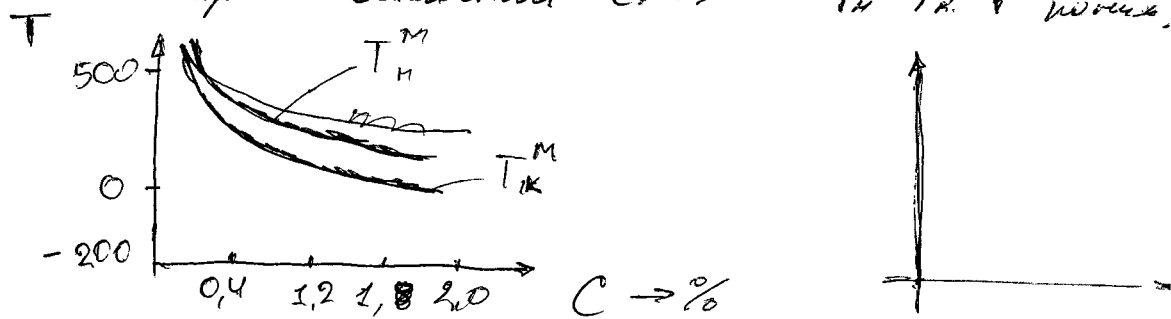
- превращ. Мартенсит. \rightarrow в интервале т.р.



Аустемпиментно-маркинговая сталь

- T_H^M , T_K^M зависят от содержания С

при избытке С: $\rightarrow T_H^M T_K^M +$ макс.



Другие леганы:

Co, Ti, Zr FeNi: Ti, Mo

Обратное превращение — диффузионное превращение
 (не мгновенное)

Маркинговая фаза очень прочная

При содержании С > 3% \Rightarrow ЧУГУН
в сплаве Fe с углеродом.

ЧУГУН

Структура двухфазная \rightarrow Аг + Г

Классифицируют Чугун:

Белый чугун: Fe₃C - сплошь усеянное +
и гнесды

(б-бс: Твердоти и хрупкий. Не дает обработки)

Серый чугун: Углерод в виде графита
в свободн. сост.

Более пластичен, легче обрабатывается.

Ковкий чугун: С - в хромоэвтической форме
или в эвтарообразной форме

податлив обработке.

8, %	Недан	Хон.	Шаров.
	0,9 - 0,5	5 - 10	10 - 15 10 - 20%

Прочность

→ неизг обрабатывается резанием

(т.к. графит "сплющивает")

→ антифрикционные св-ва

→ наличие вибрации

→ жесткое св-во (турбин, барабан)

→ звуки

и производство чугуна и сталей использует

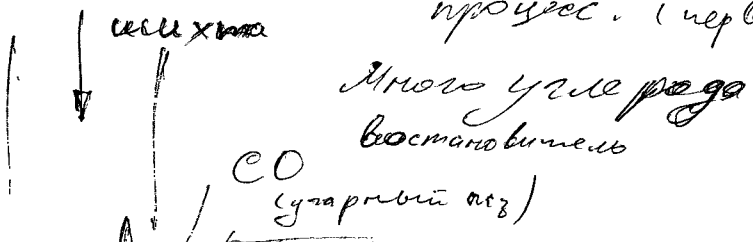
Fe₂O₃ (70%) красные окиси

Fe₃O₄ (60%) магнетит

FeCO₃ (40%)

Оксидация — обогащение по Fe руды содрж. окислительных примесей

Доменный процесс: восстановление магнитного железа (первичной) прокесс.



Мартеновский процесс: получение чистого с мин. содержанием углерода
железурождения
Дробильная часть
Фактором является —

Группа промежуточных элементов

C	Mn	< 0,7	N, O, H $\leq 10^{-2}$
	Si	< 0,4	
	S	< 0,06	
	P	< 0,07	

Набор промежуточных эл-вов.
чугун.

Mn, Si — полезные промеж.
(раскидистые)

т.к. FeS — образует с чугуном Fe при 988°
эвтектику, Fe - FeS

St (красно-желтость) Fe-FeS на границе зерн.

Pt P (росфор) хладко-желтость

изъявление при нагреве кипятник, оксиды, не гран.
уничтожает зёрна.

пузирки (гравий камни) — источник первичного
разрушения.

Сталь

Учебодисциплины
Fe-C

Лекционные

(по содержанию углерода С) - го эвтектического

6
 $< 0,8\%$

- эвтектического

$\sim 0,8\%$

- за эвтектического

$> 0,8\%$

углерод-е стали - **простые**

$S \sim 0,06$
 $P \sim 0,07$

(самые дешевы)
(углерод)

См 1, 2, 3 ... 6

См 3 ($C \sim 0,25\% - 0,28\%$)

усталости вынуждена

a) no

b) no

b) no max. об. ванн чист. сост.

Учебодисциплины конструкционные - **качество**
($P < 0,035$ $S < 0,04$)

См 05, 10, 40, 80

См 40 ($C \sim 0,40$) высокая прочность 600 МПа
пружинные, рессоры, распределители.

лекция Ковтун Г.П. 27.02.2012
понедельник

Инструментальные углеродистые стали

(насыщены, ненасыщены)
сталь - выс. прочностн., твёрдость.

У7 - У12

содержание С (углерод) в ~~долях~~ % 7% 12%
легир. + термическая обработка : - закалка ($750 - 800^\circ\text{C}$)
- отпуск ($150 - 170^\circ\text{C}$)

такие - нагрев до + темп с целью стабилизации
меньше или около состояния

Мартенсит, феррит.
Стали перлито-мартенситные.

• п. классификации:

Сталь ~~не~~ занимает 80% обн. обёма.

В атомахи реакторе строили использовали
легированные стали —

— стали со спеч. введенными легирующими
элементами с целью улучшения
физико-механических свойств.

Аустенитного Рекристалл. хар-ра, Мартенс.

911°C — фазовая переход $\alpha \rightarrow \gamma$
 727°C — $\alpha \rightarrow \gamma \rightarrow \alpha$?

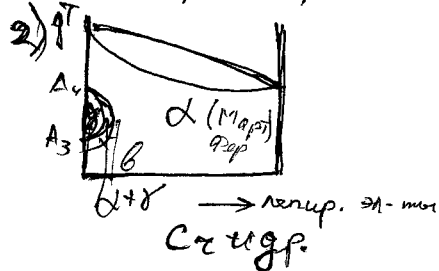
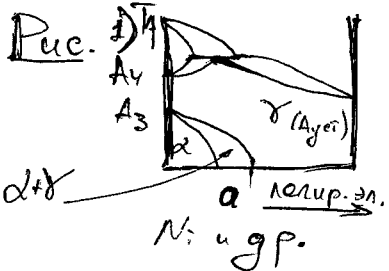
Если легировать — изменение? будет? T
Одни повышают, другие понижают.

1) Группа никеля (Ni)

Ni, Mn, Co, Pt, Cu — расширение γ -области

2) Группа хрома (Cr)

Cr, Si, Al, W, V, Ti — расширение α -области



- 1) Если концентрац. легир. элемента
 $CNi > a$ — γ -область, аустенитный хар-р. если
2) $Cr > b$. α -область

Fe — ОЛСК

$Cr \geq 14\%$

$Cr \geq 14\%$

факторы:

Степень растворимости легирующих

$\Delta \gamma \sim 8\%$ - начальная растворимость

25. 0
17 °C

$\Delta \gamma \sim 15\%$ - максимальная растворимость

$$\frac{|\gamma_{Fe} - \gamma_{1.9}|}{\gamma_{Fe}} \cdot 100\% = \Delta \gamma$$

отношение электронных концентраций: $\frac{\gamma_{Fe}}{\gamma_{лег. эл-таб.}}$

$Fe \text{ e/m} \leq 1,38$ хорошо

$Fe \text{ e/m} \leq 14,8$ хорошо.

Карбидо-образующие элементы.



Легирующие элементы образованием вторичных газов (карбидов, оксидов, карбонатов, сульфидов)

Группа элементов не образует карбидов в стальх: (Ni, Si, Cu, Co, Al)

Группа элементов образует карбиды (Mn, Cr, Mo, W, Ti...)

Располож. эл-таб, по способности к карбидам



установлено

Эл-мы справо от Fe (VII) менее стойкие карбиды
левее от Fe - более стойкие

КОНЦЕНТРАЦИЯ легир. эл-таб мало (Mn, Cr, Mo, W)

и уменьшает замещение Fe в членении (Fe_3C),

$(Fe, Mn)_3C$; $(Fe, Cr)_3C$ - легированный членений,

и при этом эл-мент замещает часть атомов Fe.

Карбиды (группы)

1- распределяющие Fe

2- не распределяющие Fe

I_{sp}: $M_{e_3}C$

$M_{e_23}C$

$M_{e_7}C$

$Cr_{23}C$

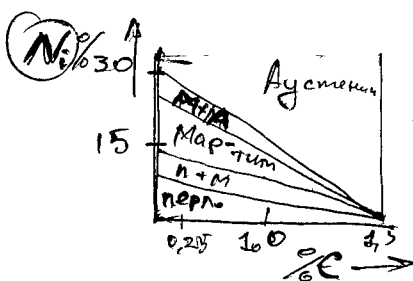
II_{sp}: M_eC

$M_{e_2}C$

Класс стали Карбидообразующие

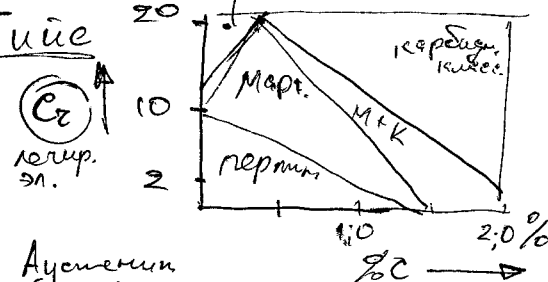
- 1) Аустемперное
- 2) Пермитное (перлит + M)
- 3) Ау-М
- 4) Г3-М
- 5) Карбидообразующее.

Диагр. сост. Гибе



Ni :

Аустемп.
Map. + A
Мартенсит
перл + М
персп



Маркировка... стали

C ₂	- X
Ni	- H
W	- B
Si	- С
Mn	- Г
Mo	- М

T _i	- T
Co	- K
Al	- АО
Cu	- D
Nb	- I
P	- П

РЗМ: - 27

N - А
V - Ф
B - Р

1 X 18 H 10^T
10% углерода

$\frac{0.1}{2} - C$ Ni-10 Ti-18

Тонкости легированных сталей.

15Х
25ХГТ

конструкц.

 $C \sim 0,15$ $Cr \sim 1,5\%$
 $Cr \geq 2,5\%$ $C, Mn, Ti \leq 1,5\%$

9ХФ

инструмент. стали легированные

если содержание $> 1\%$ нем. \rightarrow улучш.Х 12 М
4Х 38Р2М2 $C \geq 1\%$ $Cr 12\%$ $Mn 1-1,5\%$
 $C \sim 0,9\%$
 $Cr \sim 3\%$ $W \sim 1\%$ $V \sim 2\%$ $Mn \sim 2\%$

ЭУ 445

легированные стали:
- ресурсоизношение
- износостойкость
- ...

Марки стали таблчи!

Неравнозначные стали. (коррозионно-стойкие)

Безоговорочно содержат $Cr \geq 12\%$ стойкие к коррозии, и др. сред.

Даваем

 $Cr \leq 20\%$ $\xrightarrow{(14)}$
онд. $\sim 29 \pm 30\%$

образование оксидной пленки.

По причине того, что в м. сост. образуется ~~богата~~ хрупкий, а не пластичный, ~~богата~~ хрупкий.

1.1 Хромистые стали. Fe, Cr, C

марки: 1Х13 $C \sim 0,10$ $Cr \sim 13\% \pm$ Мартенс-Ферр.

Закалка 1000

Отпуск 700

Х 13

Закалка 1000
Отпуск 700 $C = 0,40$ $Cr = 13\%$ Мартенсит

Х 28

 $C = 0,15$ $Cr = 28\%$ Ферр. Зак. 1000
от. ~700

Самые простые, дешевые и шир. напр. товары.

1.2 Хромо-никелевые стали

наиболее

часто встречающиеся

$C \approx 0,3\%$ $Cr \sim 18 \div 20\%$

$Ni \sim 8 \div 12\%$

$C \sim 0,03 \div 0,12$ $Cr \sim 18$ $Ni \sim 9 \div 13$

Ницель для коррозионных свойств силы
Структура не основе аустенитическая / весьма устойчивая
прочности + прочность повышается
нижнем - дереве (дереве)

Стабилизация аустенитической фазы

Заливка $1100 \div 1150^{\circ}\text{C}$

Примеры: $10 \times 18 \text{H9}$

$C \sim 0,1\%$ $Cr \sim 18\%$ $Ni \sim 9\%$
! $500 \div 700^{\circ}\text{C}$ самоизогущие пропиеси

Образование карбидов $\text{Cr}_3\text{C} \Rightarrow$ содержит Cr_6Fe_7 до 12% (легирующего элемента), не боится свойство, зернистое $Ti \sim 1\%$
водим Nb или Ti

$10 \times 18 \text{H9T}$ - карбид никеля TiC - сталь ~~основная~~ реакция
¹⁰ основная Nb или Ti

1.3. Хромо-марганцевые стали

$Ni \rightarrow Mn$ (частичн. поиска замена) если не силовые требования по коррозии

Примеры:

$10 \times 18 \text{H9T} \rightarrow 10 \times 14 \text{Г14H3T}$

архитектура
длинн. трубы

ХУМ. применения:

$09 \times 15 \text{H8Ю}$

$08 \times 12 \text{H6M2T}$

расстояние между
сердечниками ферромагн.

Прочность $\sigma_b \sim 400 \div 500 \text{ MPa}$

максимальное поворот

пластическая деформация $\varepsilon \sim \sigma_b \sim 8\%$

$\varepsilon \sim 80 \div 90\%$ $\sigma_b \sim +120 \div 140 \text{ MPa}$

Маркостойкость (состоит из прочности структуры
и вязкости + ре)

Более хром : более жестких

Cr ~ 12 - 14%
 Cr ~ 25%
 Cr ~ 30%

500 - 700°C
 900 1000 °C
 1100 °C

12 X 25 H16 Г7 АР - работа до 1100°C

A-M, A-П (перед фаза Аустенитная)

Аустенитная

НИХРОМ

X 20 H 80

$t \sim 1100$

C ~ 0,10 - 0,15

Сталь-2:

1 X 25 H 05

$t \sim 1150^\circ\text{C}$ C ~ 0,15

$\text{Cr} - 23 - 27\%$
 $\text{Al} - 4,5 - 5,5\%$
 остатки Fe

ромашка
X 23 H 05

T ~ 1200°C

Арматурная сталь

18Г2С (C - 0,18 Mn - 2% Si - 1%)

25Г2С (C - 0,25 Mn - 2% Si - 1%)

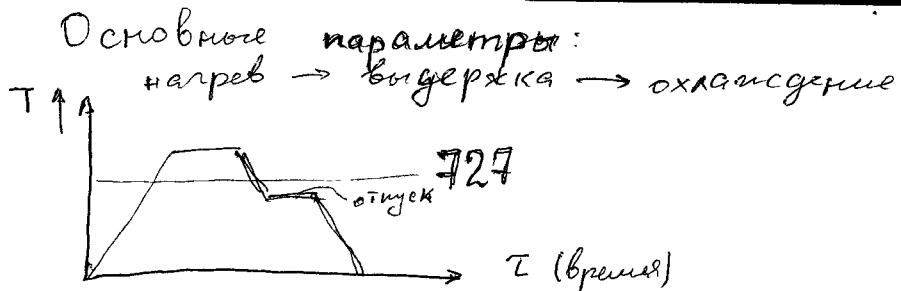
Физ.-хим. свойства
термич.
стойкость

Основы термической обработки стальных

хим. состав
- фазов. состав

изменение легирования
(можут образ. резког. фазы)

терм. обработка - процесс выделение с изотермами
охлаждением ст. с целью изменения структуры
стали без изменения хим. состава.



дис. раб.

Омник — I рода: снятие чешуек излишних минералов, первичная рекристаллизация реанизованного отпуска бозбр. ~~(иная)~~ фазовых превращений

II рода: для фазовых превращений всегда сущесвует некоторый временный период — уширение уходящий и передающийся.

Закалка — процесс связанный с нагревом стали и терм. обработкой фазового превращения и последующим быстрого охлаждения получение опред. структурного состояния стали З-ки (стабильное)

Отпуск — операции состоящие в нагреве и охлаждении при превращении в устойчивое состояние.

Старение — так же, материалы где нет фазового превращения, дин. изменения структуры материала состояния.

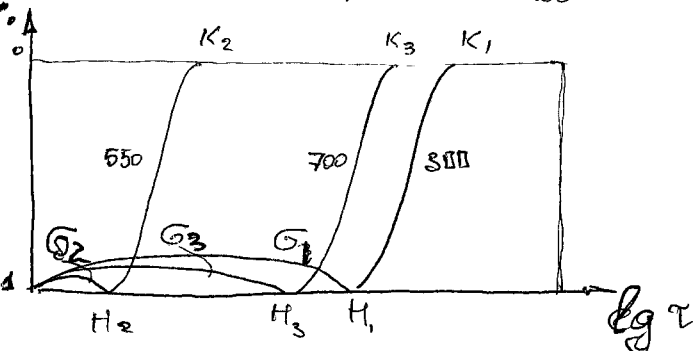
Для изучения Терм. Обработка строем

Диаграммы Изотермии. Превращения (ПИ)

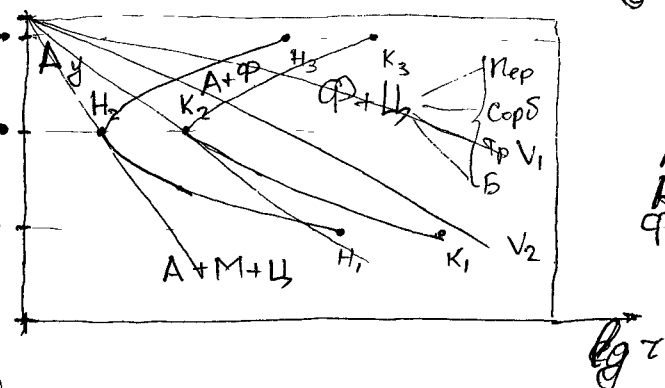
- графическое изображение фаз. состояния структуры в зависимости от температуры и времени охлаждения

Показывает кинетику процесса изменения в зависимости от времени выдержки как изображается:

4. Построение кривых распада аустенита:
(количество распавшегося аустенита - по о.у.
по логарифм времени (удобней) - по о.х.)



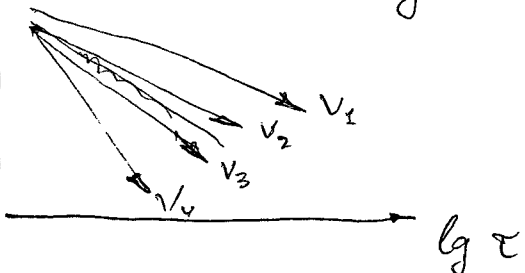
Кривые распада аустенита



Планар. Изомерия.
Превращение

A_y - Аустенит
 $A+P$ - $A \rightarrow P$ - Феррит
 $P+L$ - феррит + цементит

G_2, G_3, G_1 - инкубационный период - время ве-
сокодвиж. дил. началь процесса распада аустенита



СКОРОСТИ ОХЛАЖДЕНИЯ
 $V_1 > V_2 > V_3$

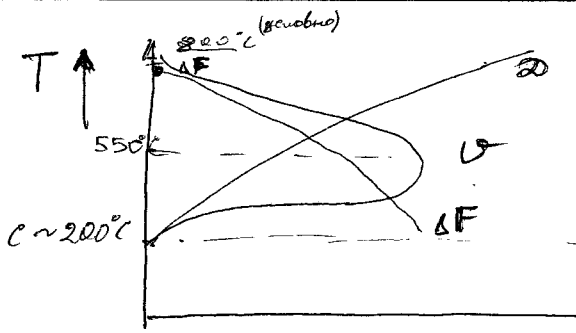
$V_{кр}$ - критическая -
касается кривой ДИП
т.е. $V \geq V_{кр}, \Rightarrow A_y \rightarrow M$

V - зависимость
от скорости охлаждения
различный структурный состав

Почему? $G_2 < G_3 < G_1$,

$$\Delta F = F_A - F_{\text{ф.ин}}$$

Диффузии углерода
 $F_{\text{аг}} > F_{\text{ф.ин}}$ отдача углерода



скорость распада
коэф-т дифф. упругог

Скорость распада Δ определяется двумя процессами: скорость изм. D и ΔF
Любая сталь подвергается теплопр. обработке.

ТИМОН.
Вопросы из
диаграм

05.03.2012
понедельник

Лекция Ковчук Г.Н.

Высоко-прочные стали.

Упрочнение — процесс повышения сопротивления при поликристаллическом деформации металлов и сплавов в результате замедл. выст и резкого снижения дислокаций.

Механизмы торможения движущих дислокаций

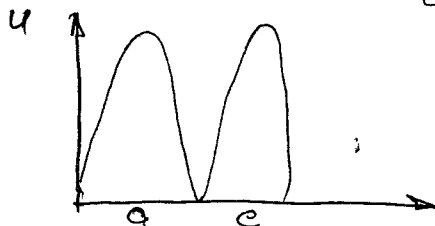
1. Сордомикр. выст дислокаций со сортом решётки (см. Нанара - Набарра)
Помимо барьера имеем периодическую пергр.

$$\sigma_{\text{П-Н}} = B G \quad \text{в дин.}$$

$$\sigma_{\text{П-Н}} = B G \cdot (1-\mu)$$

и коэффициент Пуассона

$$\mu = \frac{|\epsilon'|}{\epsilon}$$



Балансов

$$\sigma_{\text{н-г}} \sim 10^{-3} - 10^{-2} \text{ Г}$$

$$\sigma_{\text{н-г}} \sim 30 \text{ МПа}$$

$$G_{\text{теор}} \approx 0,15 \text{ Г}$$

2. Торможение дислокаций при местных аномалиях.

"Облако Коньтранса" — облака вокруг дислокаций

$$E_{\text{прин.ан}} \approx G b \epsilon$$

принеси D_2 — зо сплошной $\left\{\begin{matrix} \text{бок.расс} \\ \text{Бюргерс} \end{matrix}\right.$

$$\epsilon = \left| \frac{\tau - \tau_0}{\tau_0} \right|$$

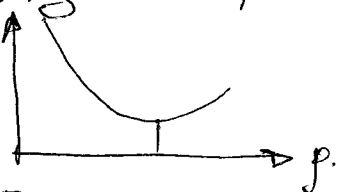
τ_0 — основн. врем. τ — принеси

$$\left(\frac{\tau_{\text{пр}}}{\tau_{00}} = 0,59 \right) \text{ условие замедления}$$

принеси внешний — будем много на границе зёрен.
Развитие разрушения по зерн. зонам — из-за неоднородности
рукоси.

Взаимодействие между дислокациями.

Физический, геометрический дислокации. Воздействие
новоличи дислокационного города в результате
взаимодействия новоличие инониты дислокаций
Свяжо напряжением между ними.



$$\chi_{\text{рез}} \sim G b^3 r^{1/2}$$

4 Влияние границ зёрен.

наиболее разорванческих — большая проблема

Ненеоная харектричесом.

Несовпадение зёрен — разори-
стичное.

Большое напряжение идет через гранич. зону.

Уравнение Коода — Лемга:

$$\sigma_T = \sigma_0 + k_d d^{-1/2}$$

d — величина
зёрен

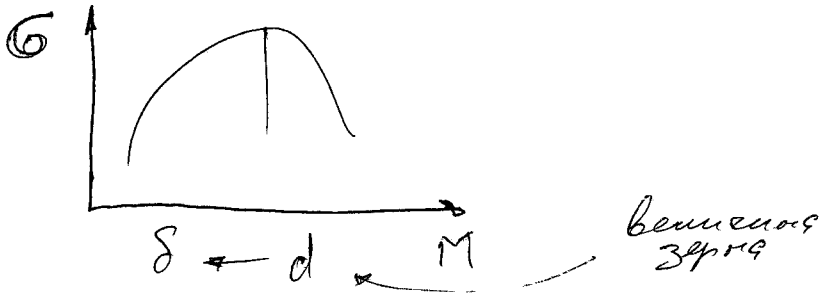
- напряжение неизвестно для материала
- коэф. характеризующий передачу через границу зёрен

Физическое методы ведение (прогонка)

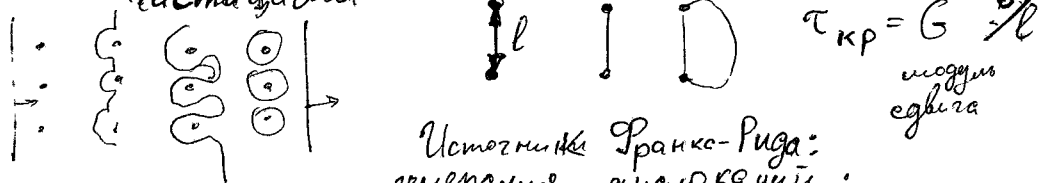
05.03.2012

нано.

Ковтун Г.П.



5. ~~Горячее~~ введение дисперсии дисперсионными гасителями



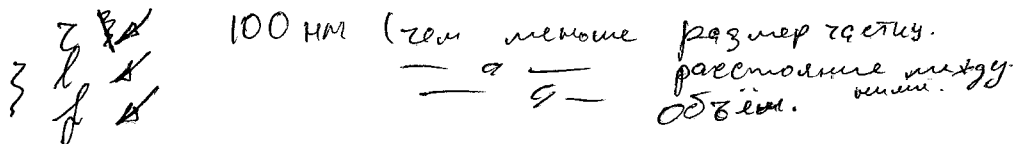
Источники Франко-Руга:
термическое диспергирование.

Применение дисперсионного упрочнения

$$\Delta G_{\text{дисп. упр.}} \approx G \beta Z$$

$$Z = \frac{\sqrt{f}}{\Sigma} - \text{число}$$

$$Z = \frac{\sqrt{f}}{\Sigma} - \text{разн. (расстояние)}$$

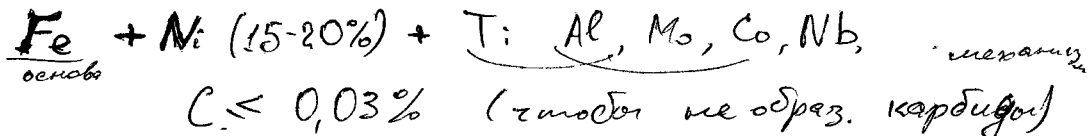


Процесс введения не диспергирует

Модуль сдвига гасителя > модуль сдвига основы

$$\underline{G_{\text{гасител.}}} > \underline{G_{\text{ост.}}}$$

Более прогонное сталь (сталь более класса)
(Мартенситно стабилизированная (обрезин., "маргантин")



$\text{Ag}(\text{Ni})$ начинка с Т-рои $800-850^\circ\text{C}$
засахар при 20°C — газ
формир. гильзов. марк.

Сварка $480-500^\circ\text{C}$ — газ ~~газомасив~~
нагр. и формир.

В сварке

NiTi Ni_3Ti NiAl Биметаллическое

- ← расщепление между сварк. и 1000°
- равномерное распределение
- соед. сварки
- различие в Г
- различие в удельных объемах

Напряжение между сваркой и обеими

03H18 R9 M5T $\sigma \approx 2000 \text{ MPa}$ ^{нагрев}
 $\delta = 10-12\%$ не стягива

$T \approx 450^\circ\text{C}$

II Трип сварка (исследование нагрева)
получение

03C, C_e-9, Ni-8, Mo-4 Mn-2 Si-2

Закалка $1000-1100^\circ\text{C}$ → декораж $400-500^\circ\text{C}$ -
 E_{60-80}

→ спарение при 400°C

$\sigma_b \sim 2000 \text{ MPa}$

$\delta \sim 20-30\%$

$\sigma_{\text{изд}} \sim 3000 \text{ MPa}$

$\sigma_b \sim 7000 \text{ MPa}$

декораж за время остывания

закалка
старение
выделение
гиперперенасыщенных
твёрдых

Тема: Прочность металлов при высоких температурах

$0,5 T_{an}$

основной параметр.

Маропрочность — способность металлов противостоять высоким температурам и при повышенных температурах.

Внешние нагрузки:

- статические

- циклические

- динамические

- в разрывном испыт. (σ, ϵ)

При повышенных темп. реализуется пред мех. пределом. Так способом выявляют прогрессирующие деформации.

1. Увелич. нагружения до предела
2. Возврат — частичное восстановление
3. Рекристаллизация.
4. Когда-то самоизоружение начинается.

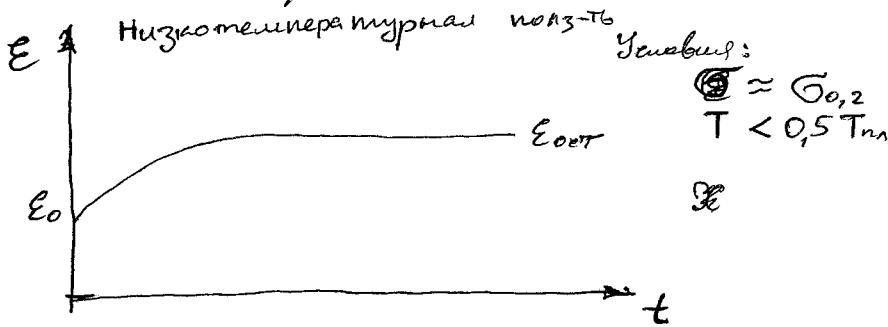
Податливость (свободно) — деформации ^(неравномерные) металлов под действием высоких температур в условиях высоких температур.

Податливость — основной параметр, нужный для того, чтобы изучить, чтобы изучить маропрочность кристаллов податливости.

Кривая податливости — графическая зависимость измеренных деформаций от времени при постоянной температуре и нагрузке. $T = \text{const}$ $\sigma = \text{const}$.

Условия нагрева: - низкотемпературная $T < 0,5 T_{an}$
- высокотемпературная $T > 0,5 T_{an}$

Рис. Степень деформации в зависимости от времени

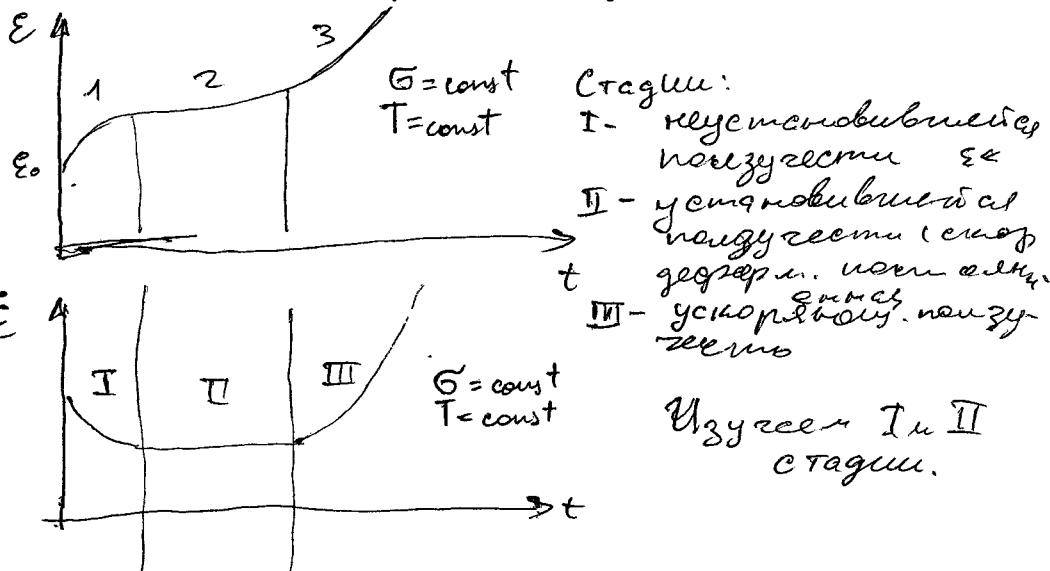


$$Fe \sim 77K$$

$$Pd \sim 4,2K$$

E_0 — начальная деформация, возникшая в образце под действием пропионатомицетата натрия — упругая деформация.
 E_{00t} — остаточная деформация, которая формируется в образце под действием пропионатомицетата натрия. $E_{00t} \leq 1\%$

Высокотемпературная нагрузка $T > 0,5 T_{un}$



I. all. $\dot{\epsilon} = \alpha t^{-m}$, $0 < m \leq 1$

1.1. $\frac{P_{un}}{(0,1 - 0,3) T_{un}} \cdot \epsilon \sim n \cdot 0,1\%$

(логарифм.) $m=1 \quad \epsilon = d \ln t + \text{const}$ $d = \text{const}$

$T \uparrow$ разрушение по границам зерен.
 $T \downarrow$ разрушение трансграничное
 Характеризующие ползучесть

Предел ползучести σ_{eff}^T
 Предел длительной прочности σ_t^T
 T - темп. ε - деформация. t - время

σ_{eff}^T - напряжение, при котором начинается разрушение в течении времени t (часов)

 $\sigma_{0,2/100}^{1000} = 35 \text{ МПа}$

$\sigma_t^T = \sigma_{100}^{1000} = 45 \text{ МПа}$ При действии например при 1000°C за 100 ч разрушается
 Для определения σ_{eff}^T и σ_t^T необходимо воспроизвести кривые

 $\sigma_1 < \sigma_2 < \sigma_3$

Практически все нержавеющие стали — исартистичные

Ni
 $Ni-Cr$
 $Ni-Co$

Какие принципы где $(Ni, Cr, Ti, Al)Mo, B$
 75% 20% 3% 1%

$$T = 700^\circ C$$

$$\sigma_B \sim 105 \text{ МПа}$$

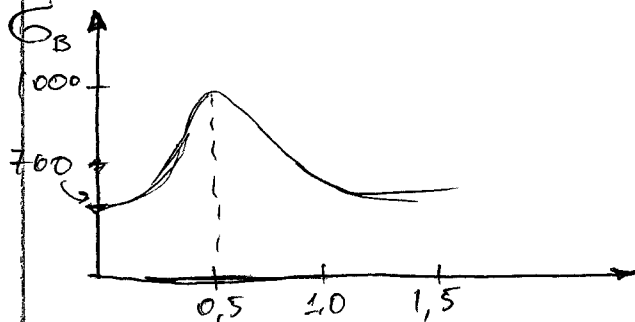
$$\sigma_{100}^{300} \sim 50 \text{ МПа}$$

При кратковременном 1-2 минут

Сплавы на основе г-ку молибдена.

Mo

1. Mo + 0,5% Ti (TM США)



но выше 0,5% -
максимальное

"феномен Ti"

$\delta_{max} \sim 0,5\%$

Причина: хромат взаимодействует с
C, N, O. - концентрация 10^{-4} - $10^{-5}\%$
состоит газами TiO TiN

ODC стали (окислов циркония)

- легирование азотом приводит к упрочнению
- изобретение структуры
- легированное

✓ 2. Mo + 0,5Ti + 0,1Zr (TZM)

✓ 3. Mo + 1,25Ti + 1,15Zr + 0,15 C (TZC)

4. Mo + 0,15Zr + 0,4Ti + 0,01 C (BM-1)

W

1. W + 0,12 Zr

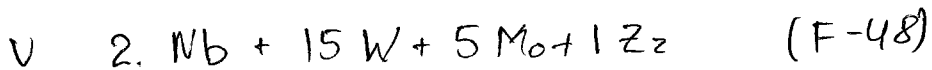
2. W + 3,5Ta

2. W + 0,6 Nb } *

3. W + 25 Mo }

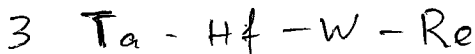
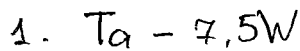
* G_B^{1650} — в 3-4 раза выше, чем
у чистого Nb

Nb



$G_B \sim 6$ раз выше, чем чистый Nb
удвоенная
прочность $\frac{G_B}{G} \text{ выше чем у } Mo + 0.5Ti$

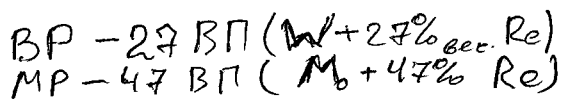
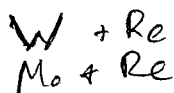
Ta



Распространение
 Mo, Nb сплавов

сплавы с добавками Re

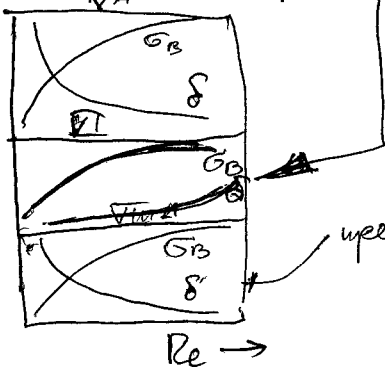
— редкий и дорогой элемент
типолавок
РПУ решимес модульную
плакированную
эмиссионную об-бс,



Термопары
1500°

"Ремеевский Эффект"

G_B
 S



G — прочность
 S — пластичность

предел растворимости

Разработано
Юльев

W-Mo-Re (1:1:1), + пасынковое
каровное

праз-бо
в США
б20330

10 т/наг.

Re - O, N, C

ReO - "смазывающее" пр. зёрно

деп. склонение + биметаллическое

Дополнительное зерно двойникование
механических свойств ковки

Влаг Re - ^{стабилен} электротермический сплав -
 VIA при, дин. ков. способе
 $\frac{l}{m} \rightarrow$ упрочнение кристаллизации влаг-
 $\text{ON/C} \rightarrow \text{O}$ ровки.

Фрагмент использования материалов
в первом звр.

[W
Mo TZM
Nb
V (C₂+Ti)]

Al

T_{nn} = 658
E = 7 · 10⁴ MPa d = 2,7 g/cm³

НР окислительный 0,002 мк

yg. упрочнение предварительной стяжки
1+ Al = 5÷6 × 1+ Fe

Високая антикоррозийность

Ag Cu Al

Конструционные материалы →

1. Al + Cu + Mg (сторона антикоррозия)
~4% ~4% A. Bansch

процесс старения при Тюочи.

3-я раза: Al_2CuMg - упрочнение

500 - закалка

[Boeing - 777]
сегмент.

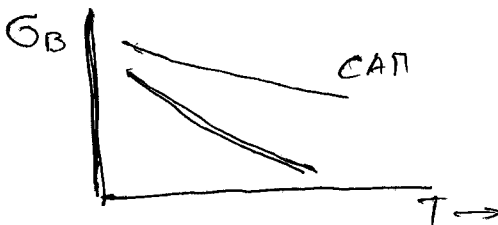
2. Al - Zn - Mg - Cu

3. Al - Be - Mg

4. Al - Li - Cu - Mg "Конкорд" "Ту-144"

5. САП - Слегчайшая Алюминиевая Пудра

Al_2O_3 Прессованная спекированная
→ МКМ.



Be - хрупкий токсичный

лекция Ковчуна Г.Г.

02.04.2012г

исследование

Лекция: Термитирование
Металлов в вакууме.

Вакуумная прокатка.

Электроэнергия и тепло
в вакууме.

(-10^{-4} мм.рт.ст.)

MoNb , CuNb ,

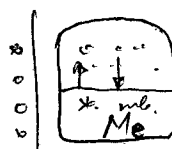
отд.

вакуум
термопр
цесс

диодр.
сердц.
титан.
насосы.

Определение

Насыщенный пар — пар, находящийся в равновесии с жидким или твердой фазой

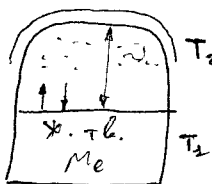


0
0
0
0
0

$$P_{\text{н.п.}} = W \sqrt{\frac{2\pi RT}{\mu}}$$

Type 12 нутделенс - Немиторе

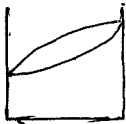
давление
на сопле пар



T_2 Аman городок со стеком
без сопротивления —
— конвекционной реакции
 $T_1 > T_2$

$$P_{\text{ст}} \leq 10^{-4} \text{ ММ.Рт.ст.}$$

Часто испарение в ~~области конденсации~~ — ~~области конденсации~~ —
расширение — ~~испарения~~ из ~~запасов~~ ^{испарения} реакции может
быть | при этом же наряду с
изменением температуры и концентрации.



$$P \leq P_i \text{ от испарения}$$

Пар. давл. — равновесн. давление
и — по компонентам.

З-и Раяля — зависимость от концентрации паров испаряющихся веществ пар. давл. через i -е компоненты от его содержания.

A - растворимость

B - растворимое вещество, Тогда

$$\frac{P_A^o - P_A}{P_A^o} = \frac{N_B}{N_A + N_B}$$

— ЗАКОН РАЯЛЯ.

где P_A^o — давление пара над чистым растворителем

P_A — парциальное давление (н.г.)

N_B N_A — число молей растворимого и растворенного веществ

Разбавленные растворы: если N_B мало, или $N_B \rightarrow 0$.

$$\frac{N_B}{N_A + N_B} = \frac{N_B}{N_A} = N_B \text{ можно дать компоненту B.}$$

$$N_B = 1 - N_A$$

$$\frac{P_A^o - P_A}{P_A^o} = 1 - N_A$$

$$P_A = P_A^o N_A$$

Более упрощенное выражение
З-и Раяля

Закон РАЯЛЯ

Идеальные растворы

судя по энергии смеси, компонентов

$$U_{AB} = \frac{1}{2} (U_{AA} + U_{BB})$$

$$\Delta U_{AB} = 0$$

$\Delta V = 0$; $\Delta H = 0$ нет изменения между содержанием.
однако Атом A и B равнозначно друг другу.

$$\underline{P_i = P_i^* N_i}$$

Реальные растворы

$$U_{AB} \neq \frac{1}{2} (U_{AA} + U_{BB})$$

Случай:

$$1) U_{AB} < \frac{1}{2} (U_{AA} + U_{BB})$$

энергия атомов
меньше, чем в отдельности

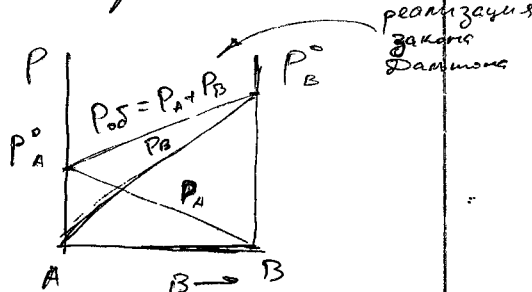
$$\Delta U_{AB} > 0 \quad \Delta H > 0; \Delta V > 0$$

с поглощением тепла. Система относится к мех. системе.
2) $U_{AB} > \frac{1}{2} (U_{AA} + U_{BB})$, $\Delta U_{AB} < 0$

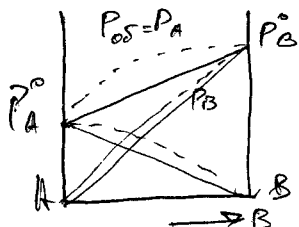
$$\Delta H < 0; \Delta V < 0; \text{ с отдачей тепла в систему.}$$

Коэффициент тепла

1) Идеальный Вариант

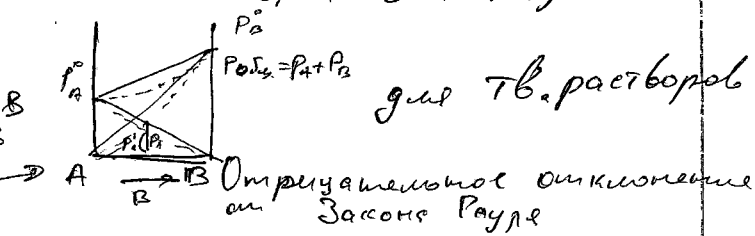


2) Реальный вариант



"Потерянное" давление от взаимодействия
см. Закон Рауля

для ТВ. растворов



Отрицательное давление
от Закона Рауля

Нереное Закономерности $g/\text{нг. сист.}$ и Законы $g/\text{реакт. сист.}$

Def: Активность

$a_A = \gamma_A N_A$ - конденсироване

Легучесть

$f_A = \gamma_A P_A'$ газ реактора, раб.

Задачи активное давление $g/\text{реактора}$, раб.

γ_A - коэффициент активности

$\gamma_A = \frac{P_A'}{P_A}$ - отноше
ние
системы
от
идеальной

P_A' - перв. давление комп. A газ

P_A - конц. A в г.п.
газ реакт.
раб.

$1 < \gamma_A < 1$,

максим. баг. Для него можно перейти от идеальной системы к реальной..

N_A - мольная доля компонента A.

При переходе в базу изменяется своб. энтропия:

$$F = F_0 + RT \ln P$$

свобод. энтропия при стандартном состоянии

$$P_1 = 1 \text{ атм.} \sim 10^3 \text{ мм.рт.ст.} \Rightarrow \Delta F = RT \ln \frac{P_2}{P_1} = RT \ln \frac{10^7}{10^3}$$

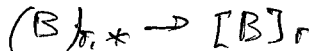
$$P_2 = 1 \cdot 10^7 \text{ ммрт.ст.} \quad \Delta F \approx 10 \text{ пас}$$

Такое изменение можно выразить.

$P_{\text{стан.}}$

Рассуждение - обезжизнение реакции

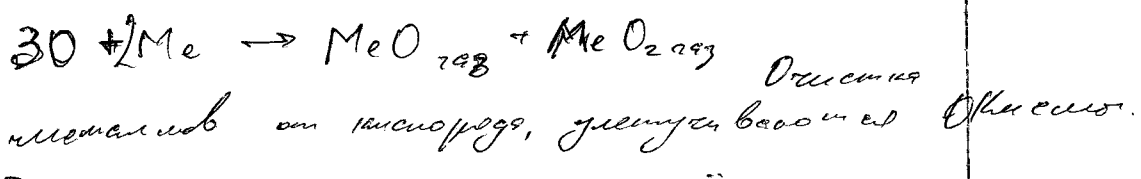
Механическое удаление привесных элементов
1. Ул. в ср. ср.



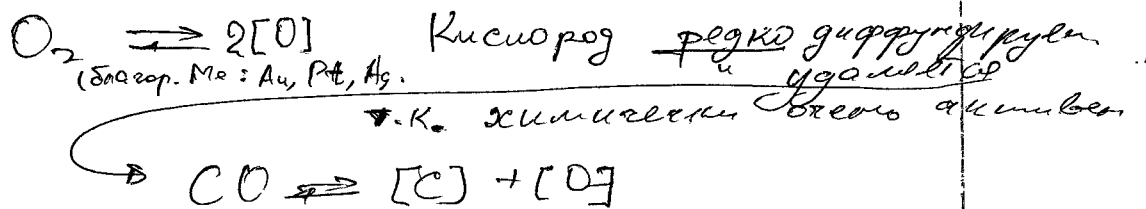
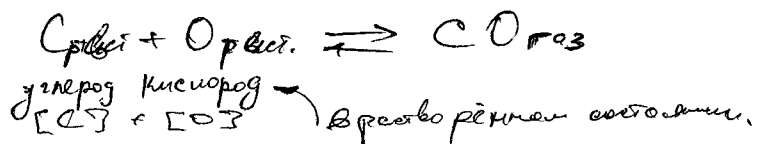
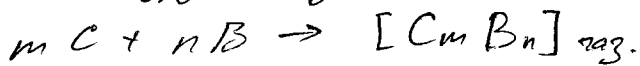
2. Испр. химическими соединениями в основании
ионами.



$P_p - P_r$ образование новых соедин.



3. испарение приводит к межатомным соединениям друг с другом.



Nb, Zr, Hf

$10^{-3}\%$ пусто, чтобы остаточное давление $10^{-7} - 10^{-9} \text{ мм рт. ст.}$

Влияние давления на скорость испарения.

Лекция Ковтун Г.П.

5.04.2012
сентябрь.

где i -ых компонентов 3-и РАУЛЯ

$$P_i = P_i^* N_i - \text{идеал. раствор.}$$

$$P_i = P_i^* \gamma_i N_i - \text{реально. раствор.}$$

благоприят. конф. активности

$$P_i^* = w_i \sqrt{\frac{2\pi RT}{M_i}}$$

давление насыщ. пара
ур-е Кнудсена - Ленгмюра.

В изотермических генераторах

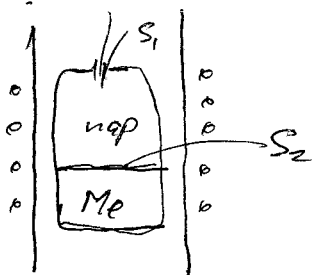


диаграмма Кнудсона

$$S_2 \gg S_1.$$

(диффузионный метод)

Через малое отверстие происходит диффузия исходных паров

изменение = концентрация в единицах времени

$$\frac{P}{P_i} = \frac{1}{1 + \frac{2 \cdot 10^3 R T}{M_i}}$$

испарение. ΔH - количество испарения -
составляется из паров в единицах времени.

Давление газов в единицах времени.

Межмолекулярное расстояние не всегда величина
Поверхность раздела взаимодействует с оставшимися
и газами внешней среды.

На поверхности образуются MgO , MeC , MoN ,
ноэтому поверхность зависит от времени,
ноэтому правило $\Delta H \leq d$

В зависимости давления от температуры $P \sim f(T)$

ΔH - температура испарения | Конечно меняться
при переводе в испарение | кон. подходит

Хар-ким будет быть величина

из $T_m \rightarrow$, меньшее $\Delta H \rightarrow$

$$\Delta H \sim f(T) \quad | \text{в интервале темп. } \Delta H = \text{const.}$$

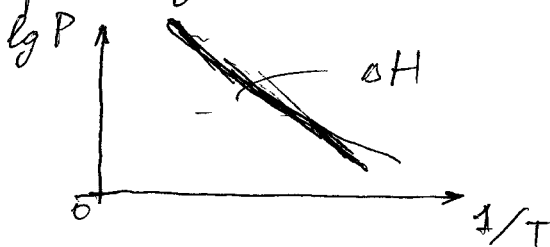
Упражнение №1

$$\lg P_i^{\circ} = A - \frac{\Delta H}{2,303 RT}$$

$$\boxed{\lg P^{\circ} = A - \frac{B}{T}}$$

$$\text{зде } B = \frac{\Delta H}{R} = \frac{\Delta H}{4,574}$$

рабочее уравнение для определения удельной теплоемкости пара



$$P^{\circ} = W \sqrt{\frac{2\pi RT}{M}}$$

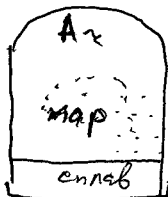
Нужно знать P_i°
Как зависит P_{bh} от T ?
- удельная теплоемкость паров пара
- скорость испарения
от внешнего давления

$$P_{bh} \leq 10^{-4} \text{ мм.рт. ст.}$$

$$\frac{10^{-2}}{10^{-1}}$$

Az плавка, кипка...

Величина P_i° — не зависит от P_{bh} — давл. внешнее.



$T = \text{const}$ Дополнительные условия:
изменение температуры t -го.

P_i° — термодинамич. велич.

скорость испарения W — кинетическая величина.

Пост. №1 W баллончик 7-2600

6 Аз.

Пост. (мм.рт.ст.) W ($10^{-9} \cdot \text{с}^{-2} \text{см}^{-1}$)

Баллон

~ 250

Бензин	~ 250	$(\times 10^{-9} \text{ моль/сек.})$
1	~ 60	
10	~ 29	
70	~ 4	
200	< 1	

Газовые присадки, их углеводороды.

1. Молек. испарение
2. Демпинг отпаров
3. $\text{CO}_2 + [\text{C}] \rightarrow \text{CO}$



онпр. образ углеводородов.

Закон Сиверуса

$$[\Gamma] = K \sqrt{P_{\text{H}_2}}$$

$$[\text{H}] = K \sqrt{P_{\text{H}_2}}$$

$$[\text{H}] \propto P \propto$$

$$[\Gamma] \sim l^{-\frac{\Delta H}{RT}}$$

$$[\Gamma] = K \sqrt{P_{\text{H}_2}} l^{-\frac{\Delta H}{RT}}$$

распределение
газовой
среды

Зн.: Растворимость
воздуха в
жидкости

$$\approx \sqrt{P_{\text{H}_2}}$$

T - const

ΔH - изменение растворения
газа в жидкости
 T - температура

- зависимость растворения
газов в жидкости в зависимости
от давл. и t -рт. P_{H_2}, T .

$K - \text{const}$ равновесия

$$[\Gamma] \sim \frac{1}{e^{\frac{\Delta H}{RT}}}$$

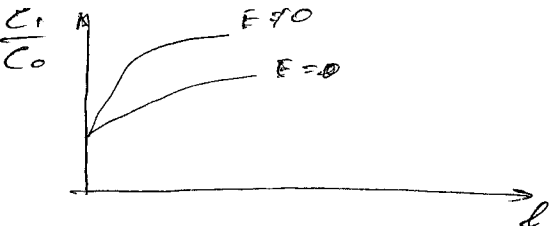
$$\begin{aligned} 1) T \uparrow & \quad \frac{\Delta H}{RT} \rightarrow 0 \quad e^{\frac{\Delta H}{RT}} \rightarrow 1 \quad [\Gamma] \uparrow \\ 2) T \downarrow & \quad \frac{\Delta H}{RT} \rightarrow \infty \quad e^{\frac{\Delta H}{RT}} \rightarrow 0 \quad [\Gamma] \downarrow \end{aligned}$$

$T,$
 $P_{\text{H}_2},$

Вопр.: как добиться мин содерж.
водорода в пленке?
(она пропорциональна $\propto T, P_{\text{H}_2}$)

Чтобы добиться гашения зоны \rightarrow V_i

Применение помех за этим когд-то
представляет собой сдвиг с применением помехи



Получение R_e, R_u, O_s максимум C_i
смещения

Балансное присоединение

ВЛИЯНИЕ РАСТВОРИЗОВ НА СВ-БА МЕТАЛЛОВ

1. Газовую среду могут образовывать различные
образования (Металлы, Металлы, Металлоиды, карб. и тирид)

C_nH_m - остатки углеводородов в газе

a) хрупкость увеличивается

Причина:
 1) отрыв в "масляной" среде C_nH_m $\delta \rightarrow 0$
 2) в вакууме кривизна кривых насыщений $\delta = 10-15\%$
 Хрупкие карбиды W

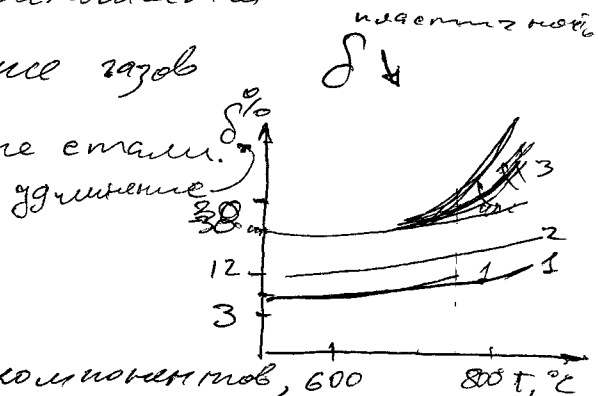
2. Насыщенные поверхн.- свойства газами

δ (насыщенность) уменьшается

3. Объемное поглощение газов

Работы ① жаропрочные стали.

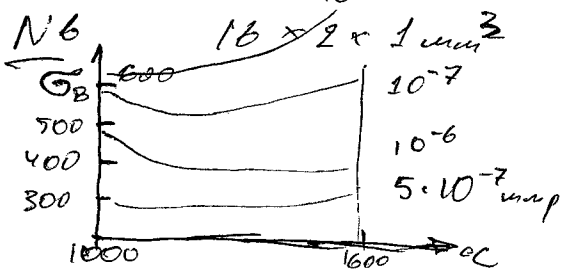
- 1 - плавка на воздухе
- 2 - плавка в вакууме
- 3 - плавка на аргоне композитов, 600°С наименее плавка



Магн. Mo, W,
Nb, Ta
Zr, Hf

50° 200°-300° T_{cr} - t_{pe} хрупкое
~0° ~0-20° переход

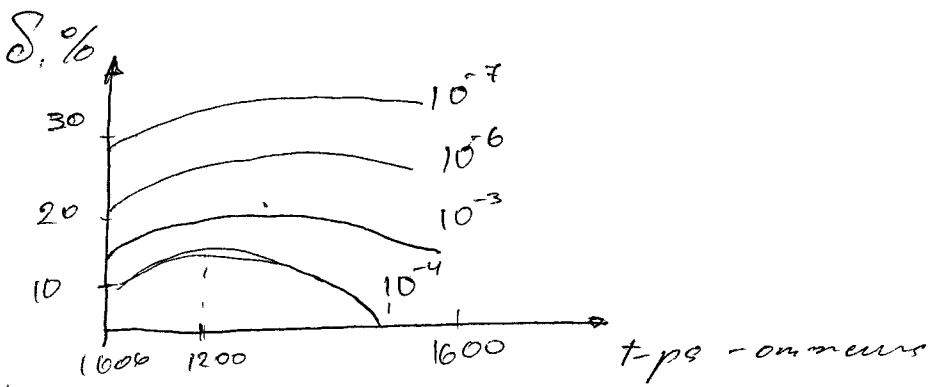
Пример: Роль вакуумных среды:



отмечалася и исследовалась прочность и хрупкость

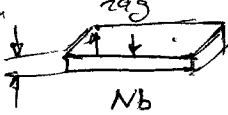
9

a)



B процессе взаимод. газа с металлом

изделия при $T = 1000$
 $P_{0.07} = 10^3 \text{ mm}$
 $t = 0.77 \text{ hr}$



Как изменяется членоват концентрированной составляющей? (ΔC)

$$\Delta C = \frac{K_a t P}{h}$$

$T = \text{const}$

P - первоначальное давление газа
 t - время выдержки газа
 K_a - вероятность из поглощенных газом молекул

$$d_{\max} = 1.$$

$$\Delta C = 5,8 \frac{n_2 \cdot p t s M_{me}}{\sqrt{M_2 T_2 / M_{me}}}$$

газ ЦИРКОНИЯ

состав поглощений элементарных газов O, N, H

n_2 - число молекул в газ.

p - начальное атм. давление газов.

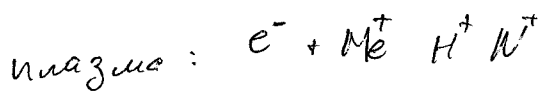
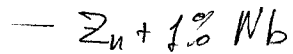
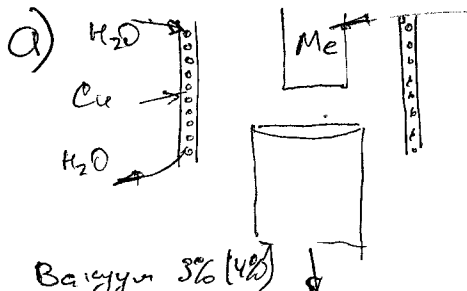
t - время

s - поверхность M_2 , R/M_2 - констант. вак. M_2

T_2 - t -ps газа

m_{mo} - масса M_2 .

НУЖНО $P \downarrow, t \downarrow, S \downarrow, T \uparrow$ для того чтобы уменьшить проницаемость газов.



Вакуум 3% (4%)

"+" : 1) большие массы сплавов > (точка)
в зоне переплава - в атмосфере среде

2) хим. состав сплава сохраняется

"-" 1) Стабильная очистка
2) Структура сплава неравновесная

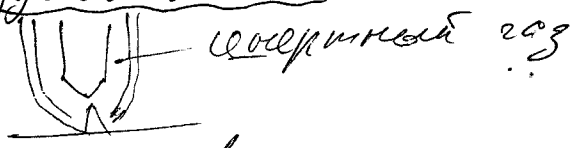
δ) Для изготовления нуклонно-зарядных образцов
ДП с нерастворимыми элементами
электродом подогревающим водой

! Основной электрод не плавится

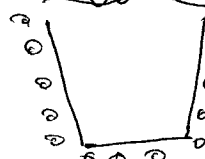
"-": Избегают загрязнения металла

3. Газометаллическая искровка

Излучение токов



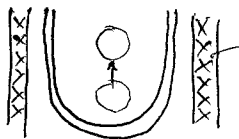
4. Ионизационная искровка



Искровка - керамика (не только)
металлы титан с разрывом

"-": низкий КПД (~10%)

5. Плавка во взвешенном состоянии



магнитное поле под

Образец (Fe) висит в пространстве
все в плавит

Al

Mg

Be

""

некогда удержать более
образцов

6.

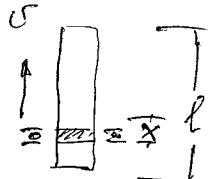


(перекрещивающиеся)

$$K_0 = \frac{C_{\text{раб}}}{C_{\text{*}}}$$

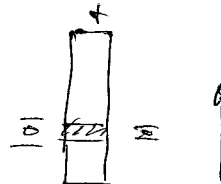
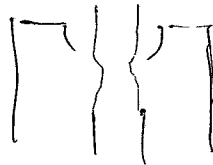
$$K_{\text{зп}} = \frac{K_0}{K_0 + (1 - K_0) e^{-\delta \frac{x}{l}}}$$

$\delta = 0.05$



частота

$$\frac{C}{C_0} = 1 - (1 - K_{\text{зп}}) e^{-\frac{K_{\text{зп}} x}{l}}$$



7. Зонная плавка с электрическим нагревом

$$U_i = U F_i$$

$$F_i = F_z + F_n$$

нагрев. сила обмотки
сила тока

$$F_z = z_i E$$

$$F_n = e n l \sigma_i E \quad | \quad F = \frac{(z_i - l) \ell \sigma_i E}{z_{\text{зп}}}$$

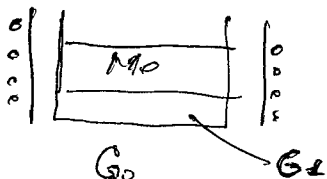
$$F_{\text{зп}} = z_{\text{зп}} E$$

величина тока обмотки

ВАКУУМНАЯ МЕТАЛЛУРГИЯ

Рафинирование Мет-ов в вакууме.

Дистилляция металлов в вакууме (перегонка)



$$\begin{aligned} P_{\text{up}}^{\circ} &> P_{\text{Me}}^{\circ} \\ P_{\text{up}2}^{\circ} &< P_{\text{Me}}^{\circ} \\ P_{\text{up}3}^{\circ} &\approx P_{\text{Me}}^{\circ} \end{aligned}$$

Схема однократной перегонки:
испарение + конденсация
 $G_k = G_0 - G_1$
Происходит разделение примесей металлов

Излучением перв. примесей (1-3)
относительно упругих паров металлов.

В конденсации: Мет-оен + примеси
все это летучие

в G_1 : Мет-основной + примеси мало летучие

Перегонка из твёрдого состояния: СУБЛИМАЦИЯ

Релец:

$$\ln \frac{G_0}{G_t} = \int \frac{dy}{x-y}$$

A - основ. вещ. б.
B - примеси ¹⁻³

G_0 - масса вещества исходного

G_t - " в момент t фазы

X - содергт. примеси в нач. распред.

3-я РАУНД
упр. КИХУВСЕНА

" " в первонач. фазе.

Мартин преобразовася сп. Релец

$$\Rightarrow \lg \frac{G_0}{G_1} = \frac{P_A^{\circ} \sqrt{M_B}}{P_1^{\circ} \sqrt{M_B} - P_B^{\circ} \sqrt{M_B}} \left(\frac{P_B^{\circ} \sqrt{M_A}}{P_A^{\circ} \sqrt{M_B}} \lg \frac{x_1}{x_0} - \lg \frac{100-x_1}{100-x_0} \right)$$

x_0 - начальное

x_1 - конечное содергт. (компоненты) А в Г₀

x_0, x_1 - массы примеси вол-ко

$\gamma_A \rightarrow \infty$
 $P_B \rightarrow 0$

$$\beta_{\text{rig}} = \frac{P_A^0}{P_B^0} \sqrt{\frac{M_B}{M_A}}$$

кодоррекция
разглаживаний.

$$\beta_{\text{preen}} = \frac{\gamma_A P_A^0}{\gamma_B P_B^0} \sqrt{\frac{M_B}{M_A}}$$

γ_A - коеф.
активности

$$\beta_{\text{pres}} = \frac{P_A^0}{\gamma_B P_B^0} \sqrt{\frac{M_B}{M_A}}$$

γ_B - коеф. активнос.
примесного газа
известен методом

западки

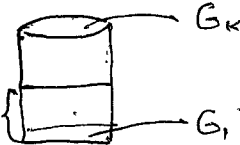
Давление упругости западки примеси и основного газа известно.

$$\lg \frac{G_1}{G_0} = \frac{1}{\beta_{\text{rig}} - 1} \lg \frac{x_1}{x_0}$$

$$\frac{x_1}{x_0} = \left(\frac{G_1}{G_0} \right)^{\beta_{\text{rig}} - 1} \quad - \text{газ остатки}$$

$$\frac{x_K}{x_0} = \frac{1 - \left(1 - \frac{G_1}{G_0} \right)^{\beta_{\text{rig}}}}{G_K/G_0} \quad - \text{газ конденсат}$$

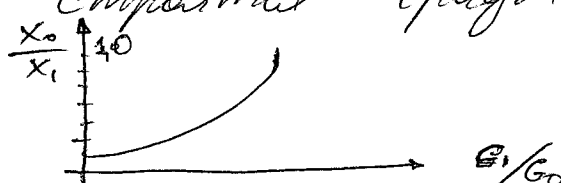
$\frac{x_1}{x_0}$ - изменение концентрации примесного газа в остатке.



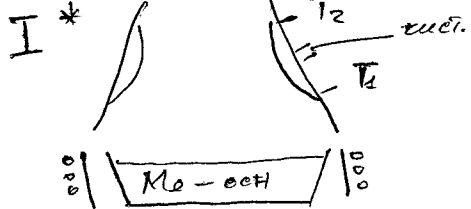
$\frac{x_K}{x_0}$ - изменение концентрации примесного газа в конденсате.

На практике берутся упрощенные и

страгмасы градуировки зависящими от $T = \text{const}$.



Техника дистилляции.



Дистилляция
на колонку с градиентом
температуры

Участок T_1 — обогащён. Испаряется
 T_2 — — — тяжёлые примеси

* радиоизотопное бериль

II

Процесс удаления
примесей испарением



Удаление загрязнений
бериль в вакууме — дробь за которую

лекция Ковчук Г.П.

09.14.2012
понед.

Вакуумная плавка Перед самой плавкой
делается подогревание — рассём... (подогрев, сплавка
погружено склоноко горю)

Удаление (радиоизотопное) — избавление от примесей

$$\lg \frac{C_i}{C_0} = \left[\frac{Y_i P^*}{P^*} \sqrt{\frac{M}{M_i}} - 1 \right] \lg \frac{G}{G_0}$$

где $\frac{G_0}{G_i}$ — бес примесей до плавки
— — — — — после плавки

M - молекулярной вес основного элемента
 M_i - примесного элемента
 P^o - упругость пара (чистого)
 P - примесного газа
 δ_i - коэффициент активности примесного элемента

C_i^o - содержание примесного элемента до плавки
 C_i - после плавки

формула $d_i = \frac{\delta_i P^o}{P} \sqrt{\frac{M}{M_i}}$ - коэф-т очистки примесного газ-та

Если $d_i < 1$ - для примесного газ-та в данном соотношении меньше, то говорят, что нет очистки от примесного газ-та.

- ∞ $d_i > 30 \div 100$ - замечательная очистка 6-10%

- ∞ $d_i > 100$ - эффективная очистка $10^{-6} \div 10^{-7}$ %

$$P^o = W \cdot \sqrt{\frac{2\pi kT}{M}} \quad - \text{вакуум плавки}$$

- молекулярное условие испарения

Способы плавки:

1 Электронно-лучевая плавка - электрон под действием напряжения попадает на метал (чисто) и при этом передается к нему тепло

$$E = \frac{mv^2}{2} = eV \quad U = 600 \sqrt{V} \text{ кВ/сек}$$

$P = 5V$ - мощность

Напряжение в зависимости от вида эл-тих пульс

$$V \approx 10-35 \text{ кВ}$$

$$V \approx 30-40 \text{ кВ} \quad \text{Attention X-rays!}$$

Эмиттер электронов не должен загореться.

2 Рубовая плавка

- a) с расходящимися электронами
- b) с перекогодящимися электронами